

**UNIVERSIDADE DE SÃO PAULO**  
**Instituto de Ciências Matemáticas e de Computação**  
ISSN 0103-2585

---

**GEOMETRIAS**

ANTONIO CONDE

Nº 88

---

**NOTAS DIDÁTICAS**



São Carlos – SP  
Fev./2018

# GEOMETRIAS

A. CONDE

Estas notas apresentam geometrias planas e usam para tal, o plano identificado com o corpo dos complexos  $\mathbb{C}$ . Tomamos a extenção do plano  $\mathbb{C}$  juntando o ponto no infinito e valorizamos as transformações de Moebius. A abordagem adotada não é axiomática como a de Euclides e sim a de Felix Klein segundo a do programa de Erlangen.

## 1. NÚMEROS COMPLEXOS

### 1.1. Lembremos as propriedades que caracterizam o corpo dos números reais $\mathbb{R}$ .

(A) Adição:

- A1. Associativa :  $x + (y + z) = (x + y) + z$
- A2. Elemento Neutro 0 :  $x + 0 = 0 + x = x$
- A3. Comutativa :  $x + y = y + x$
- A4. Elemento Oposto :  $x + (-x) = (-x) + x = 0$

(M) Multiplicação:

- M1. Associativa :  $x(yz) = (xy)z$
- M2. Elemento Neutro 1 :  $1 \cdot x = x \cdot 1 = x$
- M3. Comutativa :  $xy = yx$
- M4. Elemento inverso  $x^{-1}$  :  $x \cdot x^{-1} = x^{-1} \cdot x = 1$ , pra  $x \neq 0$

(D) Distributiva:  $x(y + z) = xy + xz$

Um conjunto com duas operações + e . que satisfazem as propriedades acima recebe o nome de corpo. Os números reais formam então um corpo  $\mathbb{R}$ . Estes tem entretanto propriedades extras envolvendo a noção de ordem.

(O) Ordem:  $\mathbb{R}$  tem uma relação de ordem total que verifica

- O1.  $x \leq y$  e  $x' \leq y' \Rightarrow x + x' \leq y + y'$
- O2.  $x \leq y$  e  $0 < z \Rightarrow xz \leq yz$

(C) Completitude

C. Todo subconjunto de  $\mathbb{R}$  não vazio e limitado superiormente admite supremo.

O corpo ordenado dos reais  $\mathbb{R}$  é caracterizado pelas propriedades acima, isto é, qualquer corpo ordenado completo é ordenadamente isomorfo a  $\mathbb{R}$ .

**Exercício:** Prove que o corpo ordenado dos reais admite um único automorfismo que é portanto a identidade.

1.2. A equação  $x^2 + 1 = 0$  não tem solução real, assim como outras equações do segundo grau. A tentativa de se ampliar o corpo dos reais a um sistema "numérico" onde tais equações tenham soluções, levou à criação dos números complexos. Cardano, no século XVI, já havia notado esta possibilidade, introduzindo o "número imaginário"  $\sqrt{-1}$  que se costuma denotar por:  $i$ . O nome dado a tal número mostra a estranheza com que tal descoberta foi sentida. O desenvolvimento dos números complexos teve um impulso no século XVIII com os trabalhos de Euler, mas só no séc

XIX se atingiu a conceituação adequada através de Gauss, Hamilton e outros. Daí então ficou claro que os números complexos são tão concretos quanto quaisquer outros; tratando-se apenas de uma questão de interpretação no "corpo da matemática". Os nomes de imaginários ou complexos são mantidos por uma razão histórica, mas são impróprios.

**1.3. Os Complexos C.** O conjunto dos números complexos que denotamos por  $\mathbb{C}$ , deve contuir um corpo que contém os reais  $\mathbb{R}$ , permitir que a equação  $x^2 + 1 = 0$  tenha solução em  $\mathbb{C}$  e que seja o mínimo necessário para tal.

**1.4. M(2).** Denotamos por  $M(2)$  o conjunto das matrizes reais  $2 \times 2$ , onde temos as operações de adição e multiplicação de matrizes  $\begin{pmatrix} a & c \\ b & d \end{pmatrix}$

Sabemos que  $M(2)$ , com tais operações, tem propriedades semelhantes as dos números reais. No caso da adição (A) tem as mesmas. Para a multiplicação falham a comutativa M3. e a existência de inverso M4.. Vale também a distributiva (D).

A correspondência  $h$  que leva o número real  $x$  na matriz diagonal, como abaixo:

$$h : x \rightarrow \begin{pmatrix} x & 0 \\ 0 & x \end{pmatrix}$$

preserva as operações de adição e multiplicação

$$\begin{aligned} h(x+y) &= h(x) + h(y) \\ h(xy) &= h(x)h(y) \end{aligned}$$

e é biunívoca. Isto nos permite identificar o número real  $x$  com a matriz  $h(x)$  e temos então:  $\mathbb{R} \subset M(2)$ .

Como observamos,  $M(2)$  não satisfaz todas as propriedades de corpo (A), (M) e (D) como queríamos; porém contém os reais e tem solução para a equação  $x^2 + 1 = 0$ , isto é, interpretando tal equação em  $M(2)$ , 1 é a matriz identidade, 0 é a matriz nula e podemos tomar para a solução a matriz:

$$x = \begin{pmatrix} 0 & -1 \\ 1 & 0 \end{pmatrix}$$

que satisfaz a equação, pois

$$x^2 = \begin{pmatrix} -1 & 0 \\ 0 & -1 \end{pmatrix}$$

e portanto  $x^2 + 1 = 0$ .

Temos parte do que queríamos pois  $M(2)$  não é corpo. Podemos ver entretanto o que ocorre se nos restringirmos ao mínimo necessário, isto é, podemos considerar um subconjunto de  $M(2)$  que contenha  $\mathbb{R}$ , a solução acima da equação  $x^2 + 1 = 0$  e onde possamos operar com a adição e multiplicação. Tomemos então todas as combinações lineares reais dos elementos

$$\begin{pmatrix} 1 & 0 \\ 0 & 1 \end{pmatrix} \text{ e } \begin{pmatrix} 0 & -1 \\ 1 & 0 \end{pmatrix}$$

ou seja

$$x \begin{pmatrix} 1 & 0 \\ 0 & 1 \end{pmatrix} + y \begin{pmatrix} 0 & -1 \\ 1 & 0 \end{pmatrix} = \begin{pmatrix} x & 0 \\ 0 & x \end{pmatrix} + \begin{pmatrix} 0 & -y \\ y & 0 \end{pmatrix} = \begin{pmatrix} x & -y \\ y & x \end{pmatrix}$$

Designemos tal conjunto por

$$\mathbb{C} = \left\{ \begin{pmatrix} x & -y \\ y & x \end{pmatrix} / x, y \in \mathbb{R} \right\}$$

Observemos que  $\mathbb{C}$  contém os reais que são representados pelas matrizes com  $y = 0$  e contém a matriz solução da equação  $x^2 + 1 = 0$ .

**Exercício:** Verifique que  $\mathbb{C}$ , com tais operações é um corpo, isto é, a soma e o produto de dois elementos de  $\mathbb{C}$  estão em  $\mathbb{C}$ , e valem as propriedades (A), (M) e (D) anteriores, sendo que

$$0 = \begin{pmatrix} 0 & 0 \\ 0 & 0 \end{pmatrix} \text{ e } 1 = \begin{pmatrix} 1 & 0 \\ 0 & 1 \end{pmatrix}$$

1.5.

**Definição 1.** O conjunto apresentado acima  $\mathbb{C}$  é o corpo dos números complexos.

Uma matriz  $\begin{pmatrix} x & -y \\ y & x \end{pmatrix}$  de  $\mathbb{C}$  fica determinada pelos números reais  $x$  e  $y$ . Podemos então estabelecer a correspondência:

$$c : \mathbb{C} \rightarrow \mathbb{R}^2$$

$$c \begin{pmatrix} x & -y \\ y & x \end{pmatrix} = (x, y)$$

onde o  $\mathbb{R}^2$  é o conjunto dos pares ordenados de números reais, com a soma vetorial conhecida:

$$(x, y) + (x', y') = (x + x', y + y')$$

A correspondência  $c$  é evidentemente biunívoca, sobre e preserva a adição. Como existe uma multiplicação em  $\mathbb{C}$ , podemos transportá-la a  $\mathbb{R}^2$  via  $c$ . Vejamos como fica

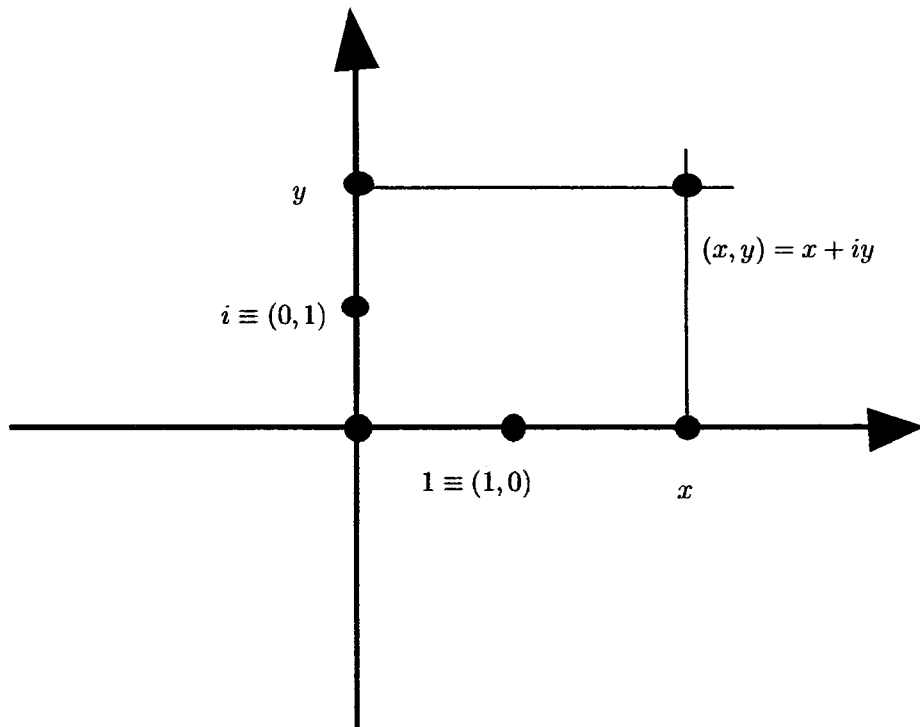
$$\begin{aligned} c \begin{pmatrix} x & -y \\ y & x \end{pmatrix} &= (x, y) \\ c \begin{pmatrix} x' & -y' \\ y' & x' \end{pmatrix} &= (x', y') \\ \begin{pmatrix} x & -y \\ y & x \end{pmatrix} \begin{pmatrix} x' & -y' \\ y' & x' \end{pmatrix} &= \begin{pmatrix} xx' - yy' & -xy' - yx' \\ yx' + xy' & -yy' + xx' \end{pmatrix} \\ c \left( \begin{pmatrix} x & -y \\ y & x \end{pmatrix} \begin{pmatrix} x' & -y' \\ y' & x' \end{pmatrix} \right) &= (xx' - yy', yx' + xy') \end{aligned}$$

Portanto a operação de multiplicação transportada para  $\mathbb{R}^2$  fica assim:

$$(x, y)(x', y') = (xx' - yy', yx' + xy')$$

Com as operações de adição e multiplicação acima em  $\mathbb{R}^2$ , a correspondência  $c$  passa a ser um isomorfismo de  $\mathbb{C}$  com  $\mathbb{R}^2$  e consequentemente, todas as propriedades verificadas em  $\mathbb{C}$  relativas à adição e multiplicação valem também em  $\mathbb{R}^2$ . Em outras palavras, temos  $\mathbb{R}^2$  como uma outra representação dos números complexos. O zero é representado pela origem  $(0, 0)$ , a unidade multiplicativa é representada por  $(1, 0)$  e a solução que esolvemos para a equação  $x^2 + 1 = 0$  é dada por  $(0, 1)$ . Usaremos para esta notação:  $(0, 1) = i$ .

O número real  $x$  passa a corresponder a  $(x, 0)$



Podemos escrever um ponto genérico  $(x, y)$  assim:

$(x, y) = x(1, 0) + y(0, 1)$ , com  $(1, 0) = 1$  e  $(0, 1) = i$ . Temos

$(x, y) = x + yi$  e com a multiplicação introduzida temos

$i^2 = -1$  e

$$(x + yi)(x' + y'i) = (xx' - yy') + (xy' + x'y)i$$

Como  $(-i)^2 = i^2 = -1$  temos que as duas soluções de  $x^2 + 1 = 0$  são exatamente  $i$  e  $-i$ .

Vamos fixar para o corpo dos números complexos esta última representação, ou seja temos outra definição para o corpo dos números complexos, isomorfo ao anterior.

### 1.6.

**Definição 2.** O corpo dos números complexos  $\mathbb{C}$  tem para conjunto o plano real  $\mathbb{R}^2 = \mathbb{C}$  e para operações, a soma vetorial e a multiplicação dada por

$$(x + yi)(x' + y'i) = (xx' - yy') + (xy' + x'y)i$$

onde  $i = (0, 1)$  e  $1 = (1, 0)$  é a unidade multiplicativa.

### 1.7.

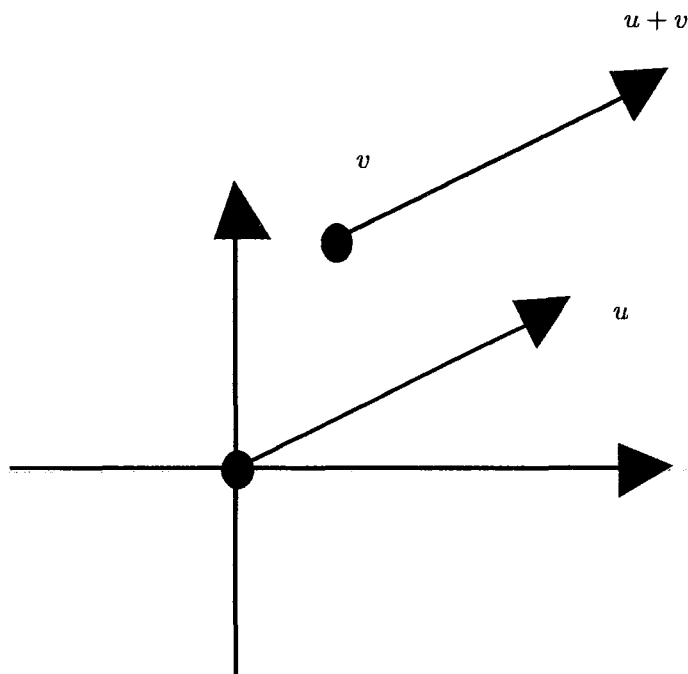
**Observação 1.** Embora trabalhemos com esta definição preferencialmente, sempre que útil usaremos o modelo matricial. Portanto o leitor deve se familiarizar com ambos.

1.8. Vamos dar uma interpretação geométrica às operações de  $\mathbb{C} = \mathbb{R}^2$ .

A soma é feita pela regra do paralelogramo e corresponde as translações:

$$t_u(v) = v + u$$

é a translação de  $\mathbb{C}$  em  $\mathbb{C}$  pelo vetor  $u$



Vamos olhar a multiplicação da mesma forma, isto é, fixemos um número complexo:  $u = a + bi$  e examinaremos a transformação

$$\begin{aligned} L_u : \mathbb{C} &\rightarrow \mathbb{C} \\ L_u(v) &= u \cdot v \\ v &= x + yi \end{aligned}$$

$L_u$  é linear sobre os reais, pois preserva a soma e permite por escalares em evidência, ou seja:

$$\begin{aligned} L_u(v + v') &= u(v + v') = uv + uv' = L_u(v) + L_u(v') \\ L_u(\lambda v) &= u(\lambda v) = \lambda(uv) = \lambda L_u(v) \end{aligned}$$

Portanto  $L_u$  é representada por uma matriz em relação à base canônica de  $\mathbb{C} = \mathbb{R}^2$  que é

$$1 = (1, 0) \text{ e } i = (0, 1)$$

Dai temos

$$L_u(1) = u \cdot 1 = u = a + bi$$

$$L_u(i) = u \cdot i = (a + bi)i = -b + ai$$

e sua matriz é então

$$\begin{pmatrix} a & -b \\ b & a \end{pmatrix}$$

Observe que a matriz da multiplicação por  $u$ ,  $L_u$  é exatamente a matriz que representa  $u = a + bi$  quando interpretamos  $\mathbb{C} \subset \mathbb{M}(2)$  (1.5)

Portanto multiplicar  $v = x + yi$  por  $u = a + bi$  é o mesmo que

$$\begin{pmatrix} a & -b \\ b & a \end{pmatrix} \begin{pmatrix} x \\ y \end{pmatrix} = \begin{pmatrix} ax - by \\ bx + ay \end{pmatrix}$$

Como de fato ocorre na forma:

$$(a + bi)(x + yi) = (ax - by) + (bx + ay)i$$

1.9. A transformação de  $\mathbb{C}$  dada pela multiplicação por  $u$ ,  $L_u$ , se decompõe no produto de uma rotação por uma homotetia. De fato, seja a matriz de  $L_u$

$$\begin{pmatrix} a & -b \\ b & a \end{pmatrix}$$

se  $a = b = 0$  então a rotação pode ser qualquer e a homotetia nula;  
se  $a$  ou  $b$  não se anula então  $a^2 + b^2 \neq 0$  e podemos escrever

$$\begin{pmatrix} a & -b \\ b & a \end{pmatrix} = \lambda \begin{pmatrix} a/\lambda & -b/\lambda \\ b/\lambda & a/\lambda \end{pmatrix}$$

com  $\lambda = \sqrt{a^2 + b^2}$ . Como  $(a/\lambda)^2 + (b/\lambda)^2 = (a^2 + b^2)/(\lambda^2) = 1$ , temos que existe  $\theta \in \mathbb{R}$  tal que  $\cos \theta = a/\lambda$  e  $\sin \theta = b/\lambda$  e aí temos a decomposição desejada

$$\begin{pmatrix} a & -b \\ b & a \end{pmatrix} = \sqrt{a^2 + b^2} \begin{pmatrix} \cos \theta & -\sin \theta \\ \sin \theta & \cos \theta \end{pmatrix}$$

dada pela rotação de ângulo  $\theta$  e a homotetia de razão  $\sqrt{a^2 + b^2}$

Da maneira como foi definido, o  $\theta$  que aí está pode ser tomado como o ângulo que o vetor  $(a, b)$  faz com  $(1, 0)$

Da igualdade acima tiramos que

$$a + bi = \sqrt{a^2 + b^2}(\cos \theta + i \sin \theta)$$

1.10. O segundo membro é chamado de representação polar do número  $a + bi$

1.11.

**Definição 3.** O argumento do número complexo  $z = a + bi \neq 0$  é o ângulo  $\theta$  que permite a representação polar acima.

$$\theta = \arg(z)$$

Observe que se  $\theta$  é argumento, então  $2k\pi + \theta$  também é para  $k \in \mathbb{Z}$  e portanto a igualdade  $\arg(z) = \arg(w)$  é sempre  $\text{mod}(2\pi)$

1.12.

**Definição 4.** O conjugado de um número complexo  $z = x + yi$  é  $\bar{z} = x - yi$

1.13. A conjugação como uma aplicação

$$\begin{aligned} - : \mathbb{C} &\rightarrow \mathbb{C} \\ z &\mapsto \bar{z} \end{aligned}$$

é um automorfismo de corpo, isto é:

$$\overline{z + w} = \bar{z} + \bar{w}$$

$$\overline{zw} = \bar{z}\bar{w}$$

$$\bar{1} = 1$$

Ela é a sua própria inversa, pois  $\bar{\bar{z}} = z$ , vale ainda que  $z\bar{z} \geq 0$  e que  $z$  é real se e só se  $\bar{z} = z$ .

**Exercício:** Verifique as propriedades acima.

1.14.

**Definição 5.** O valor absoluto do número complexo  $z$  é:  $|z| = \sqrt{z\bar{z}}$

**Exercício:** Verifique as seguintes propriedades para o valor absoluto:

- 1)  $|zw| = |z||w|$
- 2)  $|z + w| \leq |z| + |w|$
- 3)  $||z| - |w|| \leq |z - w|$
- 4) Se  $z = \lambda(\cos \theta + i \sin \theta)$  com  $\lambda$  real não negativo, então  $\lambda = |z|$

1.15.

**Proposição 1.** Dado  $z \in \mathbb{C}$  e  $n$  natural positivo, existe a raiz  $n$ -ésima de  $z$ , que denotamos por  $\sqrt[n]{z}$

**Dem:** Tomamos  $z$  na forma polar  $z = |z|(\cos \theta + i \sin \theta)$ . Por exercícios anteriores temos que  $a = \sqrt[n]{|z|}(\cos \theta/n + i \sin \theta/n)$  é uma raiz  $n$ -ésima de  $z$  pois  $a^n = (\sqrt[n]{|z|})^n(\cos n\theta/n + i \sin n\theta/n) = |z|(\cos \theta + i \sin \theta) = z$ . (C.Q.D)

1.16. Existem  $n$  raízes  $n$ -ésimas de um número complexo  $z \neq 0$  e estas formam os  $n$ -vértices de um polígono regular de  $n$ -lados. Tais vértices estão sobre o círculo de centro zero e raio  $\sqrt[n]{|z|}$ . De fato, temos  $z_0 = \lambda(\cos \theta/n + i \sin \theta/n)$  com  $\lambda = \sqrt[n]{|z|}$  uma raiz  $n$ -ésima de  $z$ , onde  $\theta$  é um dos argumentos de  $z$ , digamos  $0 \leq \theta \leq 2\pi$ . Acontece que para qualquer  $k$  inteiro,  $\theta + 2k\pi$  também é argumento de  $z$  e daí o conjunto das raízes  $n$ -ésimas de  $z$  depende de  $k$  e tem a forma polar:

$$z_k = \lambda(\cos(\frac{\theta+2k\pi}{n}) + i \sin(\frac{\theta+2k\pi}{n}))$$

Para  $k = 0$  temos a raiz de argumento  $\theta/n$  tomada inicialmente. Basta examinarmos o que se passa com o  $\arg(z_k)$

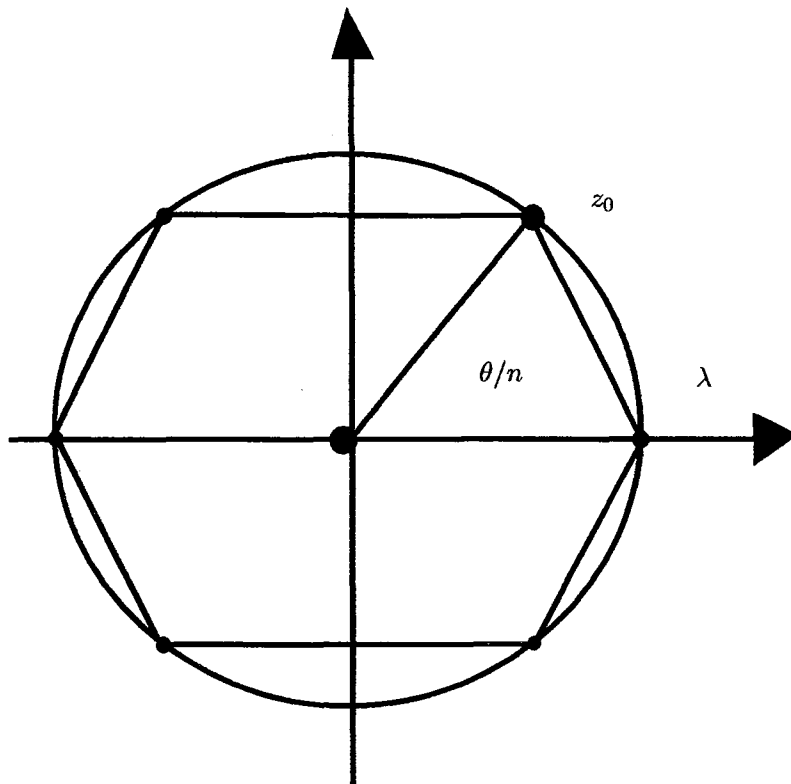
$$\begin{aligned} \arg(z_0) &= \frac{\theta}{n} \\ \arg(z_1) &= \frac{\theta}{n} + \frac{2\pi}{n} \\ &\vdots \\ \arg(z_k) &= \frac{\theta}{n} + k \frac{2\pi}{n} \end{aligned}$$

Estes argumentos são de números distintos para  $k = 0, 1, 2, \dots, n-1$ , para  $k = n$  temos  $\arg(z_n) = \frac{\theta}{n} + 2\pi = \arg(z_0)$  e daí por diante haverá repetição por exemplo,  $\arg(z_{n+1}) = \arg(z_1)$ . Para  $k < 0$  ocorre o mesmo pois:  $-k \frac{2\pi}{n} + (n+k) \frac{2\pi}{n} = 2\pi$

O ângulo entre  $z_k$  e  $z_{k+1}$  é  $2\pi/n$  e  $|z_k| = \lambda$  daí  $z_0, z_1, \dots, z_{n-1}$  formarem os vértices de um polígono regular de  $n$  lados sobre o círculo de raio  $\lambda = \sqrt[n]{|z|}$

1.17. O círculo unitário  $S^1$  é fechado pela multiplicação complexa, pois  $|zw| = |z||w| = 1$ , contém a unidade 1 e os inversos, pois  $|z^{-1}| = |z|^{-1} = 1$ . Portanto  $S^1$  é um grupo. As raízes  $n$ -ésimas da unidade 1 estão em  $S^1$ , (dentre elas está a própria unidade) formam um conjunto fechado pela multiplicação pois  $(z_i z_j)^n = z_i^n z_j^n = 1 \cdot 1 = 1$  e contém os inversos,  $(z_i^{-1})^n = (z_i^n)^{-1} = 1$ . Assim sendo elas formam um grupo finito com  $n$  elementos, digamos  $I_n$ :  $I_n \subset S^1$ .

Seja  $w = \cos 2\pi/n + i \sin 2\pi/n$ . Então  $w$  é um gerador do grupo  $I_n$ , isto é, todo elemento de  $I_n$  é uma potência de  $w$ . Em outras palavras as raízes  $n$ -ésimas da unidade são:



$$1 = w^0 = w^n, w, w^2, \dots, w^{n-1}$$

**Exercícios:**

- 1) Determine todos os geradores do grupo das raízes n-ésimas da unidade  $I_n$ . O que acontece se n é primo?
- 2) Para  $w$  o gerador acima, mostre que:  $1 + w + w^2 + \dots + w^{n-1} = 0$ , e generalize para  $1 + w^k + w^{2k} + \dots + w^{(n-1)k} = 0$  onde n não divide k.

1.18. Temos dado atenção a aspectos algébricos dos números complexos com alguma interpretação geométrica até agora. A definição de valor absoluto ou norma de um número complexo  $z$ :  $|z| = \sqrt{z \cdot \bar{z}}$  é o elemento de ligação dos números complexos, ou seu lado algebrico, com a topologia do plano de  $\mathbb{R}^2 = \mathbb{C}$ . Observemos que a métrica euclidiana de  $\mathbb{R}^2$ , ou seja, a distância usual entre dois pontos  $z = x + iy$  e  $z' = x' + iy'$  é exatamente,  $|z - z'| = ((x - x')^2 + (y - y')^2)^{1/2}$ .

Uma vez que temos as operações + e . em  $\mathbb{C}$  que definem  $\mathbb{C}$  e temos a topologia de  $\mathbb{R}^2 = \mathbb{C}$  usual, devemos olhar para a compatibilidade das operações de adição, multiplicação e inversão, isto é, as funções

$$\begin{aligned}\alpha : \mathbb{C} \times \mathbb{C} &\rightarrow \mathbb{C} \\ (z, z') &\mapsto z + z'\end{aligned}$$

$$\mu : \mathbb{C} \times \mathbb{C} \rightarrow \mathbb{C}$$

$$\begin{aligned} (z, z') &\mapsto zz' \\ j : \mathbb{C} - \{0\} \times &\rightarrow \mathbb{C} \\ z &\mapsto z^{-1} \end{aligned}$$

são contínuas.  $\mathbb{C} \times \mathbb{C}$  é considerado com a topologia produto. Tal continuidade decorre respectivamente das seguintes desigualdades:

- (α)  $|z + z' - z_0 - z'_0| \leq |z - z_0| + |z' - z'_0|$
- (μ)  $|zz' - z_0 z'_0| \leq |z_0||z' - z'_0| + |z'_0||z - z_0| + |z - z_0||z' - z'_0|$
- (i)  $|z^{-1} - z_0^{-1}| \leq |z|^{-1}|z - z_0||z_0|^{-1}$

1.19. Decorre daí que toda função obtida efetuando-se sucessivas operações de adição, multiplicação e inversão são contínuas e, seu domínio de validade. Como por exemplo as polinômias:

$$\begin{aligned} p : \mathbb{C} &\rightarrow \mathbb{C} \\ p(z) = \sum_{i=0}^n a_i z^i, a_i \in \mathbb{C} \end{aligned}$$

ou as racionais:

$$\begin{aligned} f : U \subset \mathbb{C} &\rightarrow \mathbb{C} \\ f(z) = \frac{p(z)}{q(z)} \end{aligned}$$

onde  $p$  e  $q$  são polinômios,  $q \neq 0$  e  $U$  é o complementar dos zeros de  $q$ .

Nas construção dos complexos, pedimos que existisse solução para a equação  $x^2 + 1 = 0$ . Na realidade obtivemos muito mais.

1.20. **O teorema fundamental da álgebra.** Todo polinômio de grau positivo com coeficientes em  $\mathbb{C}$  tem uma raiz em  $\mathbb{C}$ .

**Dem:** Seja  $p(z) = \sum_{i=1}^n a_i z^i$  polinômio de grau  $n \geq 1$ , donde  $a_n \neq 0$ . Queremos  $z_0 \in \mathbb{C}$  tal que  $p(z_0) = 0$ . Vamos conseguir um tal  $z_0$  examinando o mínimo para  $|p(z)|$ . Vamos mostrar que  $|p(z)|$  tem que assumir mínimo em  $\mathbb{C}$  e depois provar que tal mínimo tem de ser 0.

$$|p(z)| = |z|^n \left| \frac{a_0}{z^n} + \frac{a_1}{z^{n-1}} + \cdots + \frac{a_{n-1}}{z} + a_n \right|$$

Dado  $\varepsilon > 0$  existe  $r > 0$  tal que  $|z| > r$  nos dá cada  $\left| \frac{a_i}{z^{n-i}} \right| < \varepsilon/n$ . Portanto

$$\left| \frac{a_0}{z^n} + \frac{a_1}{z^{n-1}} + \cdots + \frac{a_{n-1}}{z} + a_n \right| \geq |a_n| - \varepsilon$$

Dai vem que para  $|z| = 2r > r$

$$|p(z)| > (2r)^n (|a_n| - \varepsilon)$$

Consequentemente, dado  $k > 0$  qualquer, podemos escolher um  $\varepsilon > 0$  tão pequeno e um  $r$  tão grande que teremos  $|p(z)| > k$  para fora de um certo disco. como os discos são fechados e limitados, isto é, compactos, concluimos que  $|p(z)|$  deve assumir mínimo num ponto  $z_0 \in \mathbb{C}$ .

$|p(z_0)| \leq |p(z)|$  para qualquer  $z \in \mathbb{C}$ . Basta concluirmos agora que  $|p(z_0)| = 0$ . Vamos concluir por absurdo.

Suponhamos que  $|p(z_0)| = c > 0$ .

Vamos mostrar que, neste caso, existe  $z_1 \in \mathbb{C}$  com  $|p(z_1)| < |p(z_0)|$ ; daí o absurdo. Tomemos uma situação mais específica e sem perda de generalidade normalizemos o polinômio  $p(z)$  para  $g(z) = c^{-1}p(z + z_0)$ .

Assim  $z_0$  é mínimo com  $|p(z_0)| = c$  se e somente se,  $|g(z)|$  assume mínimo em 0 com  $|g(0)| = 1$ . Então  $g$  é da forma:

$g(z) = 1 + b_k z^k + \dots + b_n z^n$  tal que  $b_k \neq 0, b_n \neq 0$ .

Queremos agora em  $z_1 \in \mathbb{C}$  tal que  $|g(z_1)| < 1$ . Temos que

$$|g(z)| \leq |1 + b_k z^k| + |b_{k+1} z^{k+1}| + \dots + |b_n z^n|$$

Como existe raiz  $k$ -ésima de qualquer complexo, temos solução  $u$  para  $b_k z^k = -|b_k|$  e claro que  $|u| = 1$ . Para  $r > 0$  temos então que  $b_k (ru)^k = -|b_k| r^k$ .

Para o segundo termo vale:

$$|b_{k+1} z^{k+1}| + \dots + |b_n z^n| \leq r^{k+1} |b_{k+1}| + \dots + |b_n|^{k+1} < r^{k+1} (|b_{k+1}| + \dots + |b_n|)$$

para  $|z| = r < 1$

Tomando agora  $r < |b_k|^{-k}$  temos  $r |b_k|^k < 1$  e se  $r < |b_k|(|b_{k+1}| + \dots + |b_n|)^{-1}$  temos  $|b_{k+1} z^{k+1}| + \dots + |b_n z^n| < r^k |b_k|$

Daí concluimos que

$$|g(ru)| < 1 - |b_k| r^k + r^k |b_k| = 1$$

Portanto com  $r$  como acima e  $u$  temos  $z_1 = ru$  satisfazendo  $|g(z_1)| < 1$  (C.Q.D)

## 1.21.

**Teorema 1.** Seja  $p(z)$  polinômio com coeficientes em  $\mathbb{C}$  de grau  $n \geq 1$ . Então existem  $z_1, z_2, \dots, z_n$  em  $\mathbb{C}$  tai que

$$p(z) = a_n(z - z_1)(z - z_2) \dots (z - z_n)$$

Dem: Seja  $p(z) = \sum_{i=0}^n a_i z^i, a_n \neq 0, n \geq 1$

pelo teorema fundamental da álgebra, existe uma raiz  $z_1$  para  $p(z)$ , isto é,  $p(z_1) = 0$ .

Consideremos a divisão de  $p(z)$  por  $(z - z_1)$

$$p(z) = (z - z_1)p_1(z) + r_1(z)$$

com grau de  $r_1(z)$  menor que grau de  $(z - z_1)$  que é 1. Logo  $r_1(z)$  é constante. Mas substituindo  $z$  por  $z_1$  acima temos  $0 = r_1(z_1)$  donde  $r_1(z)$  é a constante nula.

Conseguimos assim fatorar  $p$  em  $p(z) = (z - z_1)p_1(z)$ , temos que grau de  $p_1 = n - 1$ . O mesmo raciocínio se aplica a  $p_1$  e chegamos assim a um  $z_2$  tal que  $p(z) = (z - z_1)(z - z_2)p_2(z)$ . Repetindo o processo chegamos a

$$p(z) = (z - z_1)(z - z_2) \dots (z - z_n)p_n(z)$$

Como grau de  $p$  é  $n$  temos  $p_n(z)$  constante e pela multiplicação indicada é o coeficiente de  $z^n$ , isto é,  $a_n$ . (C.Q.D)

**Observação 2.** É claro que estas  $n$  raízes de  $p$  não precisam ser distintas duas a duas. O número de fatores em que uma mesma raiz aparece é chamado de multiplicidade da raiz. Assim podemos escrever

$$p(z) = a_n(z - z_1)^{m_1}(z - z_2)^{m_2} \dots (z - z_k)^{m_k}$$

com  $z_i \neq z_j$  e  $m_i$  a multiplicidade de  $z_i$ .

**1.22. Compactificação de  $\mathbb{C}$ .** A introdução do ponto  $\infty$  (infinito) torna o espaço mais apropriado ao estudo das funções complexas. Como veremos adiante, por exemplo, funções do tipo  $p/q$  quociente de dois polinômios, que em  $\mathbb{C}$  tem problema com os zeros de  $q$ , estarão definidas no espaço todo. Por outro lado, o nosso espaço tem uma interpretação geométrica simples, será a esfera de dimensão dois  $S^2$ .

O espaço métrico  $\mathbb{C} = \mathbb{R}^2$  não é compacto mas todo ponto tem uma vizinhança compacta, por exemplo, um disco, isto é, ele é localmente compacto. Neste caso existe um processo para se "compactificar" o espaço introduzindo-se um novo ponto,  $\infty$  que se costuma chamar de infinito.

## 1.23.

**Definição 6.** Seja  $\infty$  um elemento não pertencente a  $\mathbb{C}$  e  $\tau$  a topologia de  $\mathbb{C}$

$$\tilde{\mathbb{C}} = \mathbb{C} \cup \{\infty\}$$

e uma topologia  $\tilde{\tau}$  em  $\tilde{\mathbb{C}}$

$A \in \tilde{\tau} \Leftrightarrow A \in \tau$  ou  $A^c$  (complementar de  $A$  em  $\tilde{\mathbb{C}}$ ) está em  $\mathbb{C}$  e é compacto aí.

$(\tilde{\mathbb{C}}, \tilde{\tau})$  é o compactificado de  $\mathbb{C}$

**Exercícios:**

1) Verifique que de fato,  $\tilde{\tau}$  é uma topologia em  $\tilde{\mathbb{C}}$  e que induz  $\tau$  em  $\mathbb{C}$ .

2) Se  $D_n$  é o disco de centro 0 e raio  $n > 0$  inteiro, de  $\mathbb{C}$ ; mostre que a família  $(D_n^c)_{n \in \mathbb{N}}$  de subconjuntos de  $\tilde{\mathbb{C}}$  é um sistema fundamental de vizinhanças do infinito  $\infty$ .

O espaço  $\tilde{\mathbb{C}}$  foi uma ampliação de  $\mathbb{C}$  onde levamos em conta apenas a estrutura topologica. Queremos agora considerar a estrutura algébrica de  $\mathbb{C}$  e ver como a mesma poderia ser ampliada a  $\tilde{\mathbb{C}}$  mantendo-se sua compatibilidade com a topologia, isto é, de modo as nossas operações permanecerem contínuas segundo a topologia de  $\tilde{\mathbb{C}}$ .

## 1.24. Definições:

Adição:  $a \in \mathbb{C}, a + \infty = \infty + a = \infty$

Multiplicação:  $a \in \tilde{\mathbb{C}}, a \neq 0, a\infty = \infty a = \infty, \infty^0 = 1$

Divisão:  $a \in \mathbb{C}, a/\infty = 0$  e  $a \neq 0, a/0 = \infty$

É de fácil verificação, usando sequências e a topologia dada a  $\tilde{\mathbb{C}}$  que :

A adição assim extendida é contínua

$$+ : \tilde{\mathbb{C}} \times \tilde{\mathbb{C}} - \{(\infty, \infty)\} \rightarrow \tilde{\mathbb{C}}$$

A multiplicação também

$$\cdot : \tilde{\mathbb{C}} \times \tilde{\mathbb{C}} - \{(0, \infty), (\infty, 0)\} \rightarrow \tilde{\mathbb{C}}$$

Assim como a divisão

$$\therefore \tilde{\mathbb{C}} \times \tilde{\mathbb{C}} - \{(\infty, \infty), (0, 0)\} \rightarrow \tilde{\mathbb{C}}$$

**Observação 3.** Não é possível se extender continuamente a adição a  $\infty + \infty$  pois dado  $a \in \tilde{\mathbb{C}}$  qualquer, existem sequências  $(z_n)$  e  $(z'_n)$  convergindo para  $\infty$  cuja soma converge para  $a$ . Basta tomar  $z_n = n$  e  $z'_n = a - n$  temos que  $z_n + z'_n = n + a - n = a$ .

Portanto não podemos especificar a de modo a preservar a continuidade.

Verifique que o mesmo ocorre para os demais casos omitidos

$$0\infty = ? \quad \infty/\infty = ? \quad 0/0 = ?$$

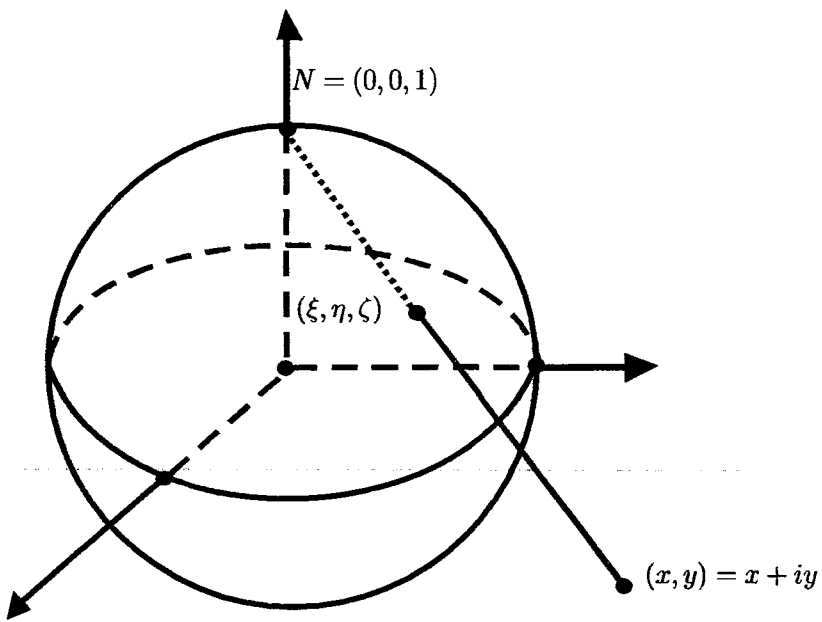
Observe ainda que:

$\infty$  não tem oposto pois  $\infty + a = \infty$  no entanto existe  $-\infty = (-1)\infty = \infty$

$\infty$  não tem inverso pois  $\infty a = \infty$  no entanto existe  $\infty^{-1} = 1/\infty = 0$

Assim sendo, com excessão dos quatro casos  $\infty + \infty, \infty 0, \infty/\infty$  e  $0/0$  as operações estão bem definidas e são contínuas.

Do ponto de vista algébrico a nova situação ficou um pouco estranha, isto é, demanda um certo cuidado, mas do ponto vista topológico ficou ótima, como veremos a seguir.



1.25. Um homeomorfismo de  $\tilde{\mathbb{C}}$  com a esfera  $S^2$ , a projeção estereográfica. Seja  $S^2 = \{(\xi, \eta, \zeta) \in \mathbb{R}^3 / \xi^2 + \eta^2 + \zeta^2 = 1\}$  a esfera unitária do  $\mathbb{R}^3$

Vamos identificar o plano complexo  $\mathbb{C} = \mathbb{R}^2$  com o plano dos eixos de  $\xi, \eta$ . Portanto  $1 = (1, 0) = (1, 0, 0)$  e  $i = (0, 1) = (0, 1, 0)$ . O círculo unitário  $S^1 \subset \mathbb{C}$  passa então a ser o equador de  $S^2$ .

Sejam  $N = (0, 0, 1)$  o "polo norte" e  $S = (0, 0, -1)$  o "polo sul".

Definamos agora a projeção estereográfica:

$$\begin{aligned}\pi : S^2 - \{N\} &\rightarrow \mathbb{C} \\ \pi(\xi, \eta, \zeta) &= (x, y)\end{aligned}$$

onde  $(x, y)$  e  $(\xi, \eta, \zeta)$  estão alinhados com o polo norte  $N$ , como na figura acima.

Calculemos uma expressão analítica para  $\pi$ .

Queremos determinar  $\lambda$  tal que

$$\lambda((\xi, \eta, \zeta) - (0, 0, 1)) + (0, 0, 1) = (x, y, 0) \text{ ou}$$

$$(\lambda\xi, \lambda\eta, \lambda(\zeta - 1) + 1) = (x, y, 0), \text{ donde}$$

$$x = \lambda\xi, y = \lambda\eta, \lambda(\zeta - 1) + 1 = 0 \text{ donde}$$

$$\lambda = \frac{1}{1-\zeta}, x = \frac{\xi}{1-\zeta}, y = \frac{\eta}{1-\zeta}.$$

Portanto

$$\pi(\xi, \eta, \zeta) = \left( \frac{\xi}{1-\zeta}, \frac{\eta}{1-\zeta} \right)$$

Como tiramos o polo norte,  $\zeta < 1$  e temos acima uma função contínua.

Vemos pela geometria que  $\pi$  tem inversa. Calculemos então a mesma.

Temos que  $x = \frac{\xi}{1-\zeta}$ ,  $y = \frac{\eta}{1-\zeta}$  e  $\xi^2 + \eta^2 + \zeta^2 = 1$ .

Seja  $(x, y) = x + iy$ . Temos que

$$z\bar{z} = x^2 + y^2 = \frac{\xi^2 + \eta^2}{(1-\zeta)^2} = \frac{1-\zeta^2}{(1-\zeta)^2} = \frac{1+\zeta}{1-\zeta}$$

$$\text{Donde } 1 + z\bar{z} = \frac{2}{1-\zeta} \text{ e } \zeta = \frac{z\bar{z}-1}{1+z\bar{z}}$$

Substituindo temos  $\xi = \frac{2x}{1+z\bar{z}}$  e  $\eta = \frac{2y}{1+z\bar{z}}$  ou  $\xi = \frac{z+\bar{z}}{1+z\bar{z}}$ ,  $\eta = \frac{i(\bar{z}-z)}{1+z\bar{z}}$ . A inversa de  $\pi$  tem então a expressão

$$\pi^{-1}(z) = \left( \frac{z+\bar{z}}{1+z\bar{z}}, \frac{i(\bar{z}-z)}{1+z\bar{z}}, \frac{z\bar{z}-1}{1+z\bar{z}} \right)$$

que é também contínua,  $\pi$  é portanto um homeomorfismo de  $S^2 - \{N\}$  em  $\mathbb{C}$

Temos  $\mathbb{C} \subset \tilde{\mathbb{C}} = \mathbb{C} \cup \{\infty\}$ .  $\pi^{-1}$  se estende continuamente a  $\tilde{\mathbb{C}}$  pondo  $\pi^{-1}(\infty) = N$  e portanto o mesmo ocorre com  $\pi$ ,  $\pi(N) = \infty$ .

É fácil perceber a continuidade geometricamente pois  $(z_n) \rightarrow \infty$  se e somente se,  $(\pi^{-1}(z_n)) \rightarrow N$ . Podemos ve-las também das expressões analíticas.

Assim sendo temos a extensão

$$\pi : S^2 \rightarrow \tilde{\mathbb{C}}$$

como um homeomorfismo. Topologicamente,  $\tilde{\mathbb{C}}$  nada mais é do que a esfera  $S^2$  onde  $\mathbb{C}$  corresponde o complementar de  $\{N\}$ .

Assim sendo, ao trabalharmos com  $\mathbb{C}$  podemos pensar no plano  $\mathbb{R}^2$  assim como em  $S^2 - \{N\}$  e ao considerarmos o ponto  $\infty$  podemos pensar em  $S^2$ . (O espaço natural para desenvolvêrmos a teoria das funções complexas é de fato  $S^2$ )

Podemos transportar a estrutura algébrica de  $\tilde{\mathbb{C}}$  para  $S^2$  pela projeção estereográfica assim:

$$\begin{aligned} \pi : S^2 &\rightarrow \tilde{\mathbb{C}} \\ p &\mapsto \pi(p) = z \\ p+q &= \pi^{-1}(\pi(p) + \pi(q)) \\ p \cdot q &= \pi^{-1}(\pi(p) \cdot \pi(q)) \\ p/q &= \pi^{-1}(\pi(p)/\pi(q)) \end{aligned}$$

Observe que o ponto infinito, que na esfera é o polo norte  $N$ , não se distingui dos demais pontos de  $S^2$ , do ponto de vista topológico. A diferença ocorre apenas no aspecto algebrico e neste sentido o zero e a unidade também são especiais.

Como  $\pi$  é um homeomorfismo, a estrutura topológica (os abertos) do plano  $\mathbb{C} = \mathbb{R}^2$  corresponde, por  $\pi$  à estrutura topologica (os abertos) da esfera  $S^2$ . O mesmo não ocorre com as métricas usuais de  $\mathbb{C}$  e  $S^2$ .

Vamos identificar  $S^2 = \tilde{\mathbb{C}}$ . Assim a métrica usual de  $S^2$  como subespaço de  $\mathbb{R}^3$  tem a seguinte expressão para  $z$  e  $z'$  "finitos".

$$d(z, z') = 2 \frac{|z-z'|}{[(1+z\bar{z})(1+z'\bar{z}')]]^{1/2}}$$

Dividindo ambos os termos da fração por  $|z'|$  e agora tomando  $z' = \infty$  temos

$$d(z, \infty) = \frac{2}{(1+z\bar{z})^{1/2}}$$

## 1.26.

**Definição 7.** Chamamos de esfera de Riemann a esfera  $S^2$  com a estrutura complexa proveniente da identificação de  $S^2$  com  $\tilde{\mathbb{C}}$

A projeção estereográfica,

$$\pi : S^2 \rightarrow \tilde{\mathbb{C}},$$

além de preservar as topologias, preserva círculos e ângulos, como veremos a seguir.

Vamos expressar a equação de um círculo com variável complexa.

O círculo de centro  $a$  e raio  $r > 0$  é o conjunto

$$S_r(a) = \{z \in \mathbb{C} / |z - a| = r\} \subset \mathbb{C} = \mathbb{R}^2$$

A equação então de um círculo no plano  $\mathbb{C}$

$$\begin{aligned} |z - a| &= r \text{ ou} \\ |z - a|^2 &= r^2 \text{ ou} \\ (z - a)(\bar{z} - \bar{a}) &= r^2 \end{aligned}$$

1.27.  $z\bar{z} - \bar{a}z - a\bar{z} + a\bar{a} - r^2 = 0$ . Um círculo  $S$  na esfera  $S^2$  está também num plano  $P$  do  $\mathbb{R}^3$

$$C = S^2 \cap P$$

Portanto a equação de um círculo  $S$  na esfera  $S^2$  pode ser escrita como a equação de um plano em  $\mathbb{R}^3$  com as variáveis restritas aos pontos da esfera, isto é

$$\begin{aligned} S^2 : \xi^2 + \eta^2 + \zeta^2 &= 1 \\ P : A\xi + B\eta + C\zeta + D &= 0 \end{aligned}$$

com  $A, B, C$  e  $D$  reais.

Observe que para que exista o círculo é preciso que a distância da origem do  $\mathbb{R}^3$  ao plano  $P$  seja no máximo igual a 1. Nesta situação limite o círculo se reduz a um ponto, o de tangencia de  $P$  com  $S^2$ .

Vamos expressar  $\xi, \eta, \zeta$  em função de  $z \in \mathbb{C}$  via projeção estereográfica. Vimos então que

$$\xi = \frac{z+\bar{z}}{1+z\bar{z}} \quad \eta = \frac{i(\bar{z}-z)}{1+z\bar{z}} \quad \zeta = \frac{z\bar{z}-1}{1+z\bar{z}}$$

Pondo na equação de  $P$  temos:

$$A\frac{z+\bar{z}}{1+z\bar{z}} + B\frac{i(\bar{z}-z)}{1+z\bar{z}} + C\frac{z\bar{z}-1}{1+z\bar{z}} + D = 0$$

onde

$$A(z + \bar{z}) + iB(z - \bar{z}) + C(z\bar{z} - 1) + D(1 + z\bar{z}) = 0$$

onde

$$\begin{aligned} (A - iB)z + (A + iB)\bar{z} + (C + D)z\bar{z} + D - C &= 0 \text{ ou} \\ (C + D)z\bar{z} + (\overline{A + iB})z + (\overline{A + iB})\bar{z} + D - C &= 0 \end{aligned}$$

Esta equação em  $z$  e  $\bar{z}$  é semelhante à equação do círculo no plano  $\mathbb{C}$  em (1.27).

Examinaremos inicialmente o caso em que o coeficiente de  $z\bar{z}$  é nulo, isto é,

$$C + D = 0$$

Ficamos com

$$(A - Bi)z + (A + Bi)\bar{z} + D - C = 0$$

Para  $z = x + iy$  temos

$$\begin{aligned} (A - Bi)(x + iy) + (A + Bi)(x - iy) + D - C &= 0 \\ 2Ax + 2By + D - C &= 0 \end{aligned}$$

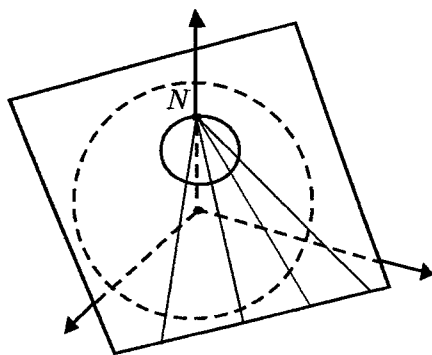
Esta é a equação de uma reta  $r$  no plano  $\mathbb{C}$ , se  $A$  ou  $B$  não nulo.

Chegamos a esta equação com condição de  $C + D = 0$  e portanto o plano

$$P : A\xi + B\eta + C\zeta + D = 0$$

passa pelo polo norte  $N = (0, 0, 1)$ , como se nota facilmente geometricamente pois a projeção  $\pi$  leva o círculo  $S$  de  $S^2$  numa reta de  $\mathbb{C} = \mathbb{R}^2$  e portanto o plano do círculo deve conter  $N$ .

Só os círculos de  $S^2$  por  $N$  é que vão em retas de  $\mathbb{C}$  com  $\pi(N) = \infty$ .



Suponhamos agora  $C + D \neq 0$ . Estamos assim com uma equação do tipo

$$1.28. \alpha z\bar{z} + \bar{\beta}z + \beta\bar{z} + \gamma = 0. \quad \alpha = C + D \quad \beta = A + Bi \quad \gamma = D - C$$

com  $\alpha$  e  $\gamma$  reais,  $\alpha \neq 0$  que podemos supor  $\alpha > 0$

Na equação de (1.27) temos um fator  $r^2$  que determina o raio do círculo. Vamos introduzi-lo na equação acima, assim

$$\begin{aligned} z\bar{z} + \frac{\bar{\beta}}{\alpha}z + \frac{\beta}{\alpha}\bar{z} + \frac{\gamma}{\alpha} + r^2 &= r^2 \text{ ou} \\ \alpha z\bar{z} + \bar{\beta}z + \beta\bar{z} + \gamma + \alpha r^2 &= \alpha r^2 \quad \alpha > 0 \end{aligned}$$

Para chegarmos na equação do círculo devemos ter então

$$\alpha\gamma - \beta\bar{\beta} = -\alpha^2 r^2 \text{ isto é,}$$

$$\alpha\gamma - \beta\bar{\beta} \leq 0 \text{ pois}$$

$$r^2 = z\bar{z} + \frac{\bar{\beta}}{\alpha}z + \frac{\beta}{\alpha}\bar{z} + \frac{\beta\bar{\beta}}{\alpha^2} = (z + \frac{\beta}{\alpha})(\bar{z} + \frac{\bar{\beta}}{\alpha})$$

e a equação em (1.28) é de um círculo se e só se

$$\alpha\gamma - \beta\bar{\beta} \leq 0$$

pois assim tomamos  $r^2 = \frac{\beta\bar{\beta} - \alpha\gamma}{\alpha^2}$  e temos o raio do círculo como sendo  $r$  e o centro  $-\frac{\beta}{\alpha}$

Se associarmos a equação (1.28) a matriz  $\begin{pmatrix} \alpha & \bar{\beta} \\ \beta & \gamma \end{pmatrix}$  a condição para que represente um círculo é  $\det(M) \leq 0$ . Acabamos de verificar o seguinte

1.29.

**Proposição 2.** A projeção estereográfica  $\pi : S^2 \rightarrow \tilde{\mathbb{C}}$  leva círculo em círculo. Aqueles que passam por  $N=(0,0,1)$  são levados em retas de  $\tilde{\mathbb{C}}$ . (uma reta de  $\tilde{\mathbb{C}}$  é uma reta de  $\mathbb{C}$  união com  $\{\infty\}$ ).

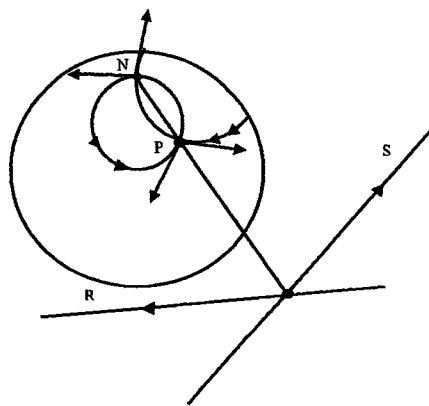
Chamaremos também as retas de  $\tilde{\mathbb{C}}$  de círculos infinitos, ou pelo infinito  $\infty$ .

Queremos verificar agora que a projeção estereográfica preserva ângulos entre círculos.

1.30. Na figura acima, a reta  $r_N$  tangencia  $\pi^{-1}(r)$  em  $N$  e portanto tangencia  $S^2$  em  $N$ . O mesmo vale para a reta  $r'_N$ . O círculo  $\pi^{-1}(r)$  e  $r$  estão no mesmo plano e portanto  $r_N$  também, já que tangencia  $\pi^{-1}(r)$ . Como  $r$  e  $r_N$  são ainda paralelas ao plano  $\mathbb{R}^2 = \mathbb{C}$  são então paralelas entre si.

$$r_N // r$$

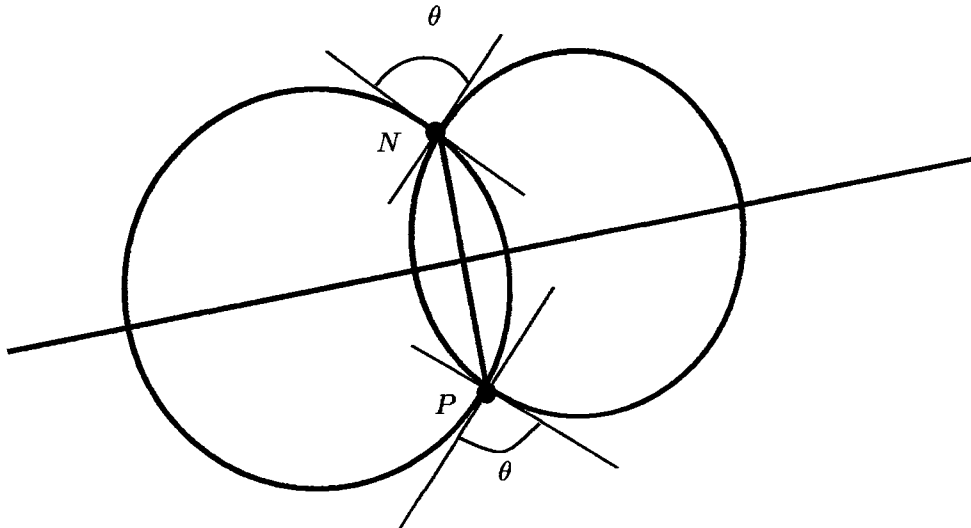
O mesmo vale para  $r'$  e  $r'_N$



$$r'_N // r'$$

Assim sendo, os ângulos determinados por  $(r, r')$  e  $(r_N, r'_N)$  e que se correspondem, são iguais

Seja  $\{z\} = r \cap r'$  e  $p = \pi^{-1}(z)$ . Queremos analisar o ângulo formado por  $\pi^{-1}(r)$  e  $\pi^{-1}(r')$  em  $p$  e as retas tomadas  $r_N$  e  $r'_N$  se cortam em  $N$ . Ocorre porém que há uma simetria na configuração  $\pi^{-1}(r) \cup \pi^{-1}(r')$  em relação a um plano perpendicular do segmento que une  $N$  a  $p$ , passando pelo ponto médio.



Esta simetria diz que os ângulos indicados na figura acima entre  $r_N$  e  $r'_N$  e  $r_p$  e  $r'_p$  são iguais. Ao girarmos  $r$  para  $r'$  no sentido anti-horário o mesmo ocorre de  $r_N$  pra  $r'_N$  (observando-se de fora de  $S^2$ ) e o oposto ocorre com o giro de  $r_p$  para  $r'_p$ . Portanto se quisermos que  $\pi^{-1}$  (e portanto  $\pi$ ) preserve, além dos ângulos e seus sentidos também devemos tomar a orientação de  $S^2$  com a normal para dentro, ou seja, o sentido positivo de giro é o de entrada do "saca rolhas".

Provamos acima então a seguinte proposição:

1.31.

**Proposição 3.** Orientando-se os ângulos do plano  $\mathbb{C}$  no sentido anti-horário e os de  $S^2$  no sentido horário (visto de fora), a projeção estereográfica  $\pi$  preserva ângulos entre círculos inclusive a orientação.

## 2. AS TRANSFORMAÇÕES DE MOEBIUS

2.1.

**Definição 8.** Uma transformação de Moebius é uma função do tipo

$$\sigma : \widetilde{\mathbb{C}} \rightarrow \widetilde{\mathbb{C}}$$

$$\sigma(z) = \frac{az + b}{cz + d}$$

onde  $a, b, c, d$  são elementos de  $\mathbb{C}$  e  $ad - bc \neq 0$ .

**Observação 4.** a. Tomemos  $z \neq 0$  e dividamos ambos os termos da fração

$$\sigma(z) = \frac{a + b/z}{c + d/z}$$

Para  $z = \infty$  as operações fazem sentido e temos

$$\sigma(\infty) = a/c$$

b. A solução  $cz + d = 0$ ;  $z = -d/c$  nos dá o ponto que vai para o  $\infty$  pois

$$\sigma(-d/c) = \frac{-ad/c + b}{0} = \frac{-ad + bc}{0c} = \frac{bc - ad}{0} = \infty$$

já que  $bc - ad \neq 0$

c. No caso (2) acima aparece já uma boa razão para se pedir na definição, que  $ad - bc \neq 0$ , mas a razão é mais forte ainda. Esta condição nos garante que a transformação  $\sigma$  seja inversível.

$$\sigma(z) = w = \frac{az + b}{cz + d} \text{ nos dá, para } cz + d \neq 0$$

$$w(cz + d) = -dw + b$$

$$z(cw - a) = -dw + b$$

Para tirar o valor de  $z$  precisamos de  $cw - a \neq 0$ , ou seja,  $w \neq a/c$  mas para  $z$  finito  $w = a/c$  não ocorre pois deveríamos ter

$$\begin{aligned} a/c &= \frac{az + b}{cz + d} \\ acz + ad &= acz + bc \\ ad &= bc \\ ad - bc &= 0 \end{aligned}$$

contra a hipótese.

Logo para  $cw - a \neq 0$  para  $z$  finito e podemos escrever

$$\sigma^{-1}(w) = z = \frac{-dw + b}{cw - a}$$

e temos a inversa de  $\sigma$ , com  $da - bc \neq 0$ .

As transformações de Moebius são portanto homeomorfismos de  $\widetilde{\mathbb{C}}$  em  $\widetilde{\mathbb{C}}$

## 2.2.

**Proposição 4.** O conjunto de todas as transformações de Moebius  $\mathbb{M}$ , com a operação de composição formam um grupo.

Dem: A identidade  $i : \tilde{\mathbb{C}} \rightarrow \tilde{\mathbb{C}}$  tal que  $i(z) = z$  é evidentemente de Moebius. Já vimos que todo  $\sigma \in \mathbb{M}$  tem inversa  $\sigma^{-1} \in \mathbb{M}$ . Falta apenas verificar que para  $\sigma$  e  $\sigma'$  em  $\mathbb{M}$  a composta  $\sigma\sigma^{-1} \in \mathbb{M}$ .

$$\sigma(z) = \frac{az + b}{cz + d} \quad \sigma'(z) = \frac{a'z + b'}{c'z + d'}$$

tal que  $ad - bc \neq 0$  e  $a'd' - b'c' \neq 0$ .

$$\sigma\sigma' = \sigma(\sigma') = \frac{a \frac{a'z + b'}{c'z + d'} + b}{c \frac{a'z + b'}{c'z + d'} + d} = \frac{(aa' + bc')z + (ab' + bd')}{(a'c + c'd)z + (b'c + dd')}$$

Tem o formato certo, devemos verificar a condição:

$$(aa' + bc')(b'c + dd') + (ab' + bd')(a'c + c'd) \neq 0$$

Mas desenvolvendo chegamos a:

$$(ad - bc)(a'd' - b'c') \neq 0$$

Portanto a composta é de Moebius e  $\mathbb{M}$  é um grupo. (C.Q.D).

## 2.3.

**Observação 5.** (a) Se associarmos a matriz complexa  $2 \times 2$ :  $\begin{pmatrix} a & b \\ c & d \end{pmatrix}$  à transformação de Moebius  $\sigma(z) = \frac{az + b}{cz + d}$ , a condição  $ad - bc \neq 0$  é exatamente o  $\det \begin{pmatrix} a & b \\ c & d \end{pmatrix} \neq 0$ .

(b) Olhando a expressão composta  $\sigma\sigma'$  acima vemos que a matriz que dá  $\sigma\sigma'$  é exatamente o produto das matrizes:  $\begin{pmatrix} a & b \\ c & d \end{pmatrix} \begin{pmatrix} a' & b' \\ c' & d' \end{pmatrix} = \begin{pmatrix} aa' + bc' & ab' + bd' \\ a'c + c'd & b'c + dd' \end{pmatrix}$

(c) O conjunto das matrizes complexas  $2 \times 2$  com determinante não nulo,  $GL(2, \mathbb{C})$  forma um grupo com a operação de multiplicação. O que vimos acima diz que a correspondência

$$h : GL(2, \mathbb{C}) \rightarrow \mathbb{M}$$

$$h\left(\begin{pmatrix} a & b \\ c & d \end{pmatrix}\right)(z) = \frac{az + b}{cz + d}$$

é um homomorfismo de grupo. É claro que é sobre. Ela não é entretanto biunívoca pois

$$h\left(\begin{pmatrix} a & b \\ c & d \end{pmatrix}\right) = h\left(k\left(\begin{pmatrix} a & b \\ c & d \end{pmatrix}\right)\right); \quad k \neq 0$$

Por exemplo, as matrizes que vão na identidade são exatamente as diagonais

$$\begin{pmatrix} a & 0 \\ 0 & a \end{pmatrix}; \quad a \neq 0$$

2.4. Observemos que uma transformação de Moebius genérica

$$\sigma(z) = \frac{az + b}{cz + d}, \quad ad - bc \neq 0$$

pode ser obtida pela composição das seguintes:

- (a) translação:  $\tau(z) = z + e$
- (b) multiplicação:  $\mu(z) = fz$
- (c) inversão:  $i(z) = \frac{1}{z}$

De fato:

se  $c = 0$  temos  $\sigma(z) = \frac{a}{d}z + \frac{b}{d}$  que vem da composição  $z \mapsto \frac{a}{d}z \mapsto \frac{a}{d}z + \frac{b}{d}$ .

para  $c \neq 0$  pomos  $\sigma(z) = \frac{r}{cz+d} + s$  e calculamos  $r$  e  $s$  obtendo  $r = \frac{cb-ad}{c}$  e  $s = \frac{a}{c}$ . A composição é então  $z \mapsto cz \mapsto cz + d \mapsto \frac{1}{cz+d} \mapsto \frac{r}{cz+d} \mapsto \frac{r}{cz+d} + s$

Representando a composição na forma matricial, isto é, considerando-se as matrizes como em (2.3), temos:

$$\begin{pmatrix} \frac{a}{d} & \frac{b}{d} \\ 0 & 1 \end{pmatrix} = \begin{pmatrix} 1 & \frac{b}{d} \\ 0 & 1 \end{pmatrix} \begin{pmatrix} \frac{a}{d} & 0 \\ 0 & 1 \end{pmatrix} \text{ e}$$

$$\begin{pmatrix} a & b \\ c & d \end{pmatrix} = \begin{pmatrix} 1 & s \\ 0 & 1 \end{pmatrix} \begin{pmatrix} r & 0 \\ 0 & 1 \end{pmatrix} \begin{pmatrix} 0 & 1 \\ 1 & 0 \end{pmatrix} \begin{pmatrix} 1 & d \\ 0 & 1 \end{pmatrix} \begin{pmatrix} c & 0 \\ 0 & 1 \end{pmatrix}$$

Façamos agora uma análise geométrica dos três tipos de transformações que geram os demais

2.5. A translação  $\sigma(z) = z + b$ . Em  $\tilde{\mathbb{C}}$

Se  $b=0$  temos identidade. Se  $b \neq 0$  este determina um feixe de retas paralelas (com o  $\infty$  em comum) e a translação move os pontos ao longo destas retas, isto é, o feixe fica invariante pela translação e  $\sigma(\infty) = \infty$ .

Em  $S^2$

A projeção estereográfica relaciona aquele feixe de retas paralelas (pelo infinito) com um feixe de círculos tangentes entre si no ponto  $N = \infty$ . Portanto a translação interpretada em  $S^2$  deixa tal feixe de círculos invariantes e desloca os pontos ao longo dos mesmos. O ponto N fica fixo pela translação.

2.6. A multiplicação  $\sigma(z) = az$ . Em  $\tilde{\mathbb{C}}$  e com  $a$  real

Neste caso, o feixe de retas pela origem é que fica invariante. Trata-se aqui de uma homotetia se  $a > 0$  ou o negativo de uma tal se  $a < 0$ . Temos dois pontos fixos  $\sigma(0) = 0$  e  $\sigma(\infty) = \infty$  e estes são os únicos se  $a \neq 1$ .

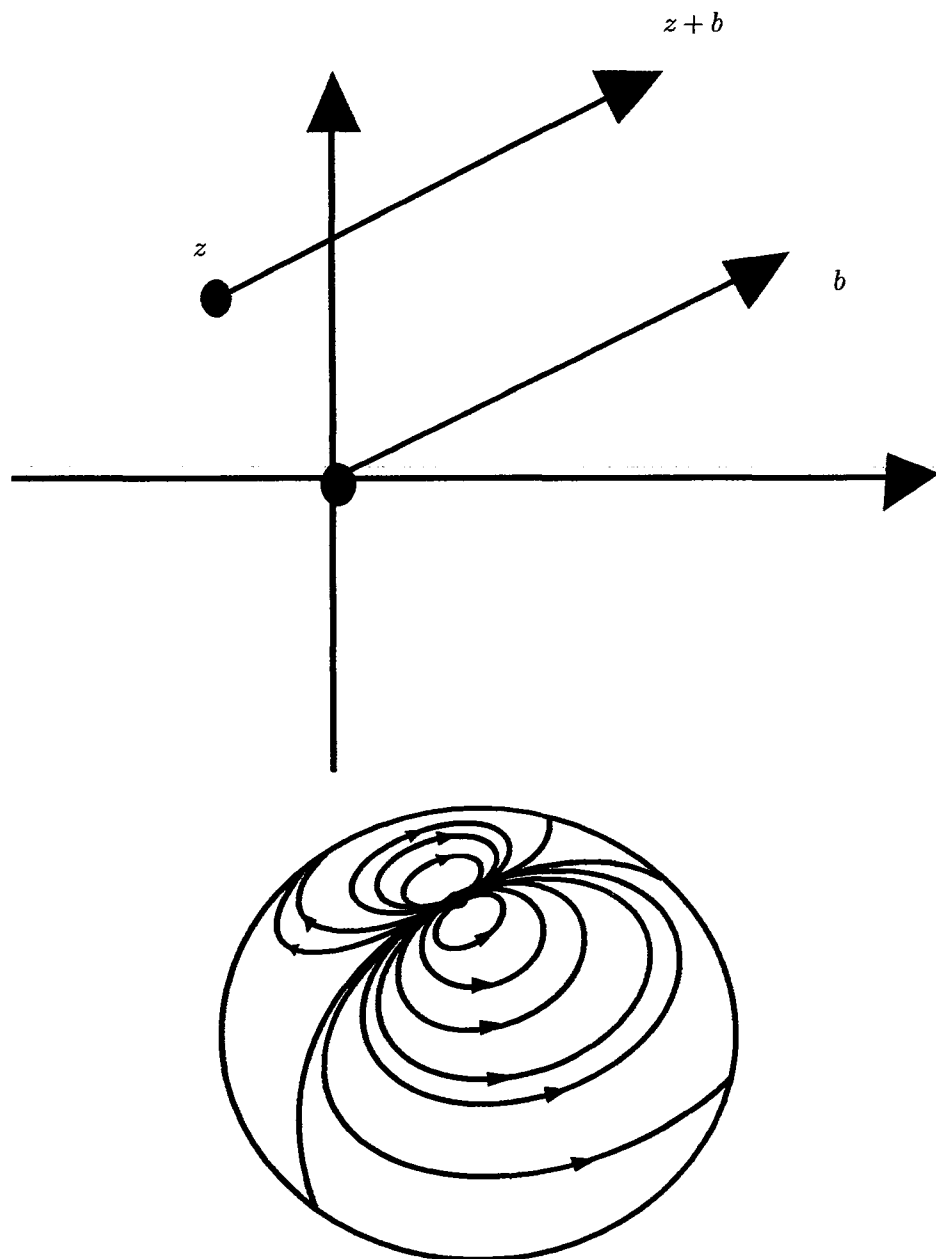
Para  $a$  não real e  $|a| = 1$  temos

o feixe de círculos cocentricos, com centro na origem deixado invariante por  $\sigma$ , pois esta é exatamente a rotação de ângulo  $\theta = \arg(a)$ .  $\sigma$  tem dois pontos fixos  $\sigma(0) = 0$  e  $\sigma(\infty) = \infty$ .

No caso em que  $a$  não é real e  $|a| \neq 1$ ,  $\sigma$  não deixa nenhum feixe de círculos ou retas invariantes.  $\sigma$  continua deixando 0 e  $\infty$  fixos. Há um feixe de curvas entretanto que são invariantes. São as espirais:

$$z = e^x (\cos(\frac{\theta}{\ln|a|}x + k) + i \sin(\frac{\theta}{\ln|a|}x + k))$$

com  $k$  constante real (para cada espiral) e  $x$  o parâmetro real da mesma. Verifique que  $az$  está na espiral.

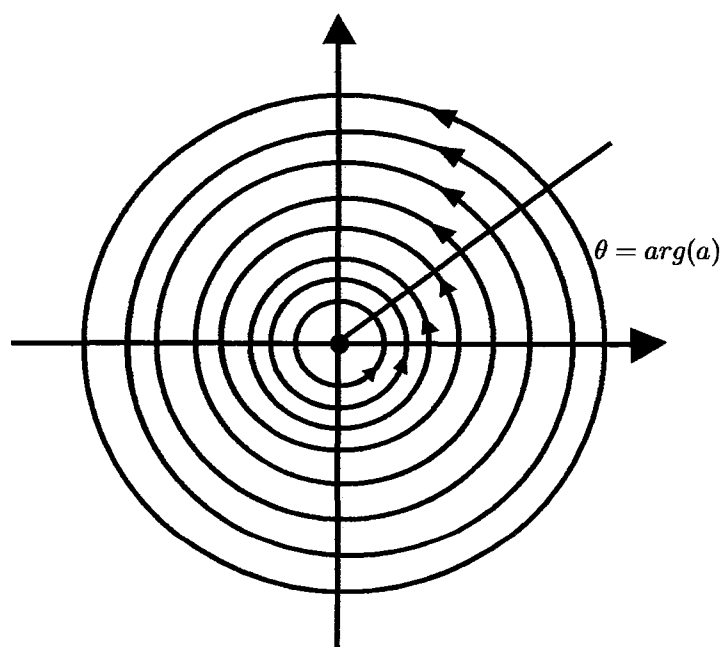
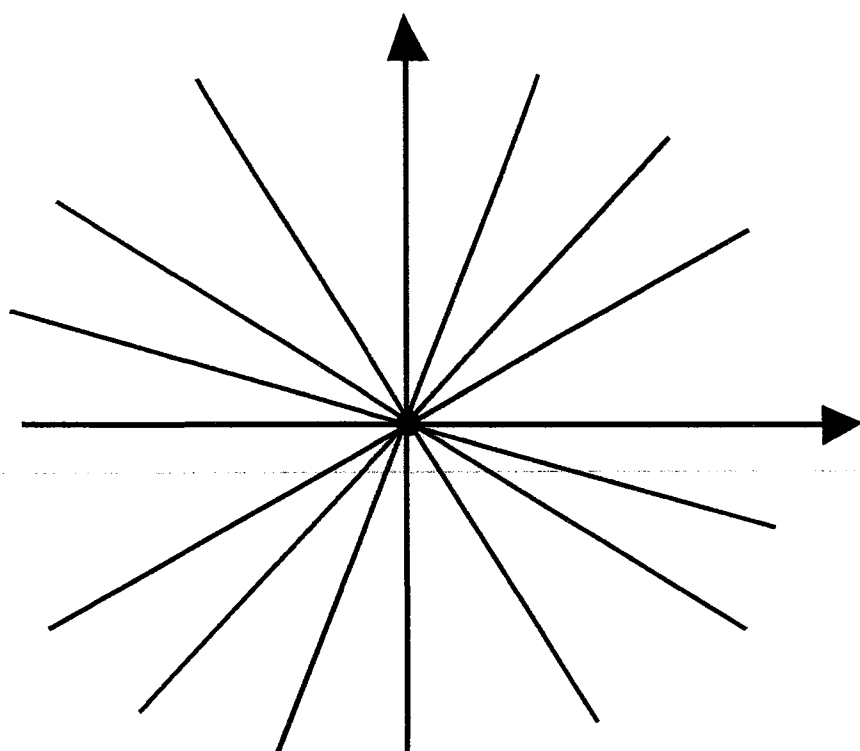


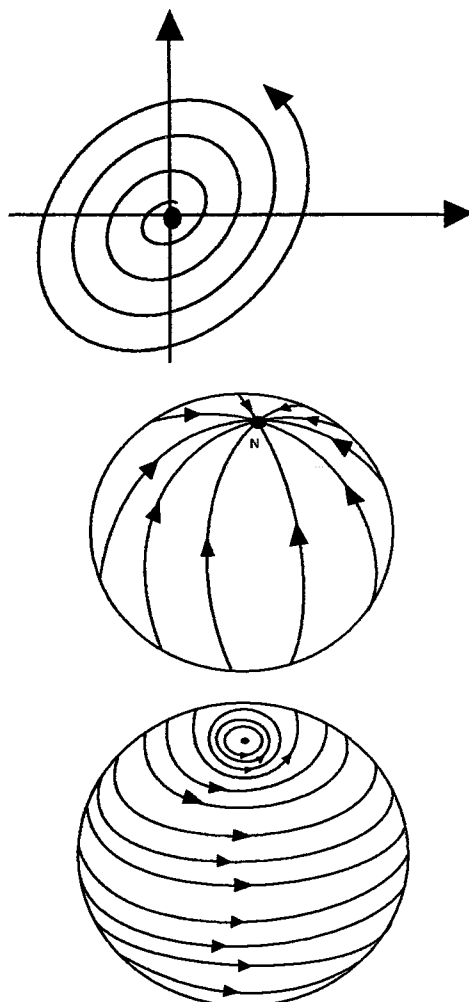
os pontos se movem ao longo destas espirais deslocando-se do ângulo  $\theta = \arg(a)$ ,  $0 < \theta < 2\pi$ . A figura acima representa o caso  $|a| > 1$ .

Vejamos agora como fica a representação geométrica da multiplicação em  $S^2$ .

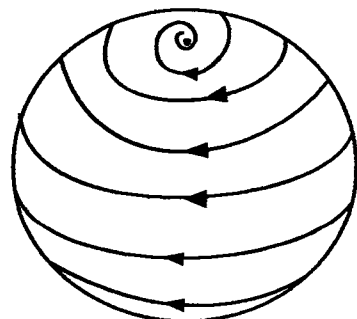
$$\sigma(z) = az, \quad a \text{ real}$$

$$\sigma(z) = az, \quad |a| = 1 \quad \text{e } a \text{ não real}$$





$$\sigma(z) = az, \quad a \text{ não real e} \quad |a| \neq 1$$



2.7. A inversão  $\sigma(z) = \frac{1}{z}$ . Em  $\widetilde{\mathbb{C}}$ :

Temos os pontos fixos  $\sigma(1) = 1$ ,  $\sigma(-1) = -1$  e  $\sigma(0) = \infty$ ,  $\sigma(\infty) = 0$ .

Uma transformação de  $\tilde{\mathbb{C}}$ , relacionada com esta e que admite uma análise simples é a conjugada de  $\sigma$

$$\begin{aligned}\bar{\sigma} : \tilde{\mathbb{C}} &\rightarrow \tilde{\mathbb{C}} \\ \bar{\sigma}(z) &= \frac{1}{\bar{z}}\end{aligned}$$

observe que  $\bar{z}$  não é de Moebius.

se  $|z| = 1$  temos  $z\bar{z} = 1$ , donde

$$\bar{\sigma}(z) = \frac{1}{\bar{z}} = z$$

e portanto  $\bar{\sigma}$  é identidade quando restrita ao círculo unitário  $S^1$ .

$$\begin{aligned}\bar{\sigma}(0) &= \infty \text{ e} \\ \bar{\sigma}(\infty) &= 0\end{aligned}$$

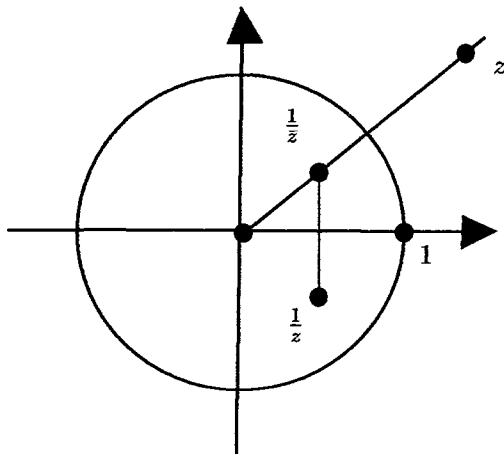
se  $z \in \mathbb{C}, z \neq 0$  temos

$$\arg \bar{\sigma}(z) = -\arg(\bar{z}) = \arg(z)$$

e portanto  $z$  e  $\bar{\sigma}(z)$  estão na mesma semi-reta e

$$|\bar{\sigma}(z)| |z| = \left| \frac{z}{\bar{z}} \right| = 1$$

Então a transformação  $\bar{\sigma}$  em  $\tilde{\mathbb{C}}$  é a inversão segundo o círculo unitário

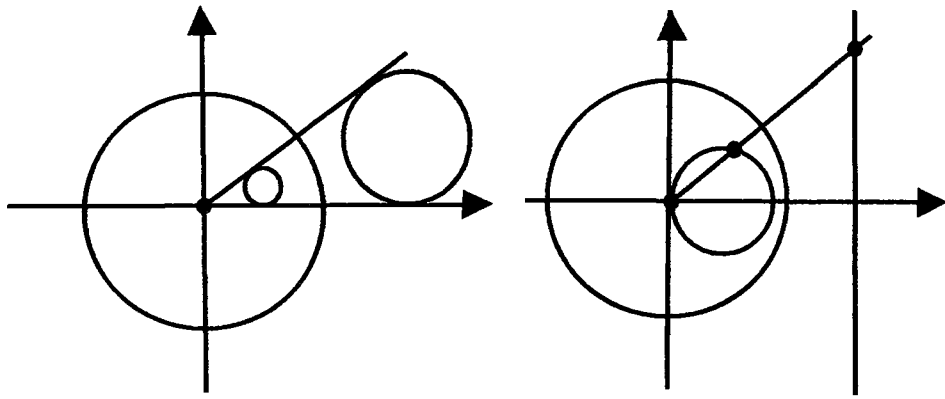


Sabemos da geometria elementar que a inversão no plano leva retas em círculos pela origem e vice-versa, que preserva ângulos e inverte orientação.

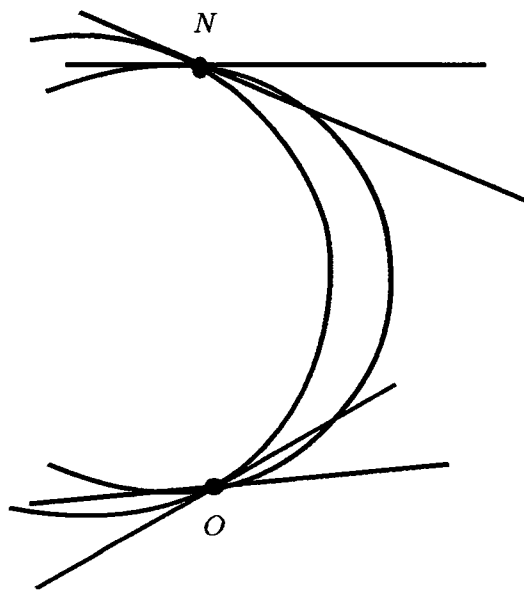
Como a conjugação em  $\tilde{\mathbb{C}}$  leva círculos em círculos e retas em retas, preserva ângulos e inverte a orientação concluimos que:

$$\begin{aligned}\sigma : \tilde{\mathbb{C}} &\rightarrow \tilde{\mathbb{C}} \\ z &\mapsto \frac{1}{\bar{z}}\end{aligned}$$

que é a composição de  $\bar{\sigma}$  com a conjugação, leva círculos em círculos, retas (que são círculos infinitos) em círculos pela origem, preserva ângulos e orientação.



Duas retas tem o  $\infty$  em comum. Escolhidas as orientações para as mesmas, definimos o ângulo no  $\infty$  como o ângulo num ponto finito com orientação oposta. Observe que assim,  $\sigma$  preserva ângulo e orientação mesmo no  $\infty$

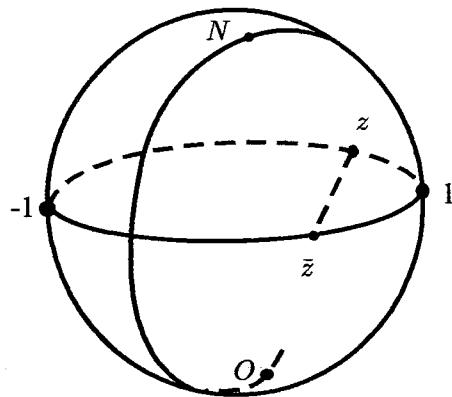


Na figura acima representamos  $\bar{\sigma}$ . Observe que o ângulo em  $z$  que corresponde ao ângulo em 0 é o mesmo inclusive em orientação. Quando compomos com a conjugação para obter  $\sigma$  este se inverte. Assim, com a definição que demos para o ângulo no  $\infty$  seu valor e orientação são preservados.

Analisemos a inversão agora na esfera  $S^2$ . Nesta ela tem uma descrição bastante simples pois é a rotação de ângulo  $\pi$  que deixa 1 e -1 fixos.

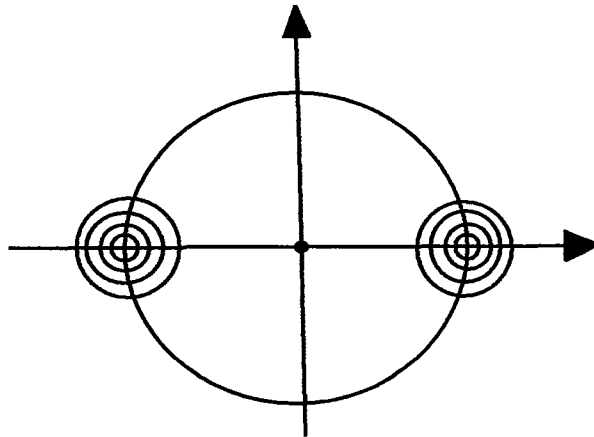
De fato  $\sigma(1) = 1$ ,  $\sigma(-1) = -1$ ,  $\sigma(0) = \infty$ ,  $\sigma(\infty) = 0$  e  $\sigma(z) = \bar{z}$ , se  $|z| = 1$  e portanto não pode ser a reflexão em relação ao plano equatorial. Para concluir, basta verificar que  $\sigma(z) = \frac{1}{z}$  preserva a distância na esfera.

$$d(z, z') = \frac{2|z - z'|}{((1 + z\bar{z})(1 + z'\bar{z}'))^{1/2}} = d\left(\frac{1}{z}, \frac{1}{z'}\right) \text{ (verifique)}$$



2.8. As transformações de Moebius preservam círculos, ângulos e orientação. Esta conclusão vem do fato de translações, multiplicações e inversão terem tais propriedades e geram por composição aquelas.

A inversão  $\sigma(z) = \frac{1}{z}$  sendo uma rotação na esfera, deixa invariante o feixe de círculos "paralelos" com centro em 1 (ou -1). Este feixe interpretado no plano, é o feixe com centro no eixo real e ortogonal ao círculo  $S^1$



O eixo de  $(0, 1)$  pertence ao feixe e é o círculo pelo  $\infty$ .

2.9. Os exemplos que temos analisado tem um ou dois pontos fixos; a não ser que seja a identidade, com todos fixos. Tal fato é geral:

$$\sigma(z) = \frac{az + b}{cz + d} = z \text{ nos dá}$$

$$az + b = z(cz + d) \text{ donde}$$

$$cz^2 + (d - a)z - b = 0$$

que é uma equação do segundo grau em  $z$  se  $c \neq 0$ . Portanto teremos uma solução se  $(d-a)^2 + 4bc = 0$  e duas caso contrário. Se  $c = 0$  temos:  $(d-a)z - b = 0$ , se  $d-a \neq 0$  temos uma solução  $z_0 = \frac{b}{d-a}$ ,  $c = 0$  e  $d = 0$  nos dá  $b = 0$  e

$$\sigma(z) = z$$

é a identidade. Então se  $\sigma$  tiver três pontos fixos é a identidade.

### 2.10.

**Proposição 5.** *Dados  $z_1, z_2, z_3$  distintos em  $\tilde{\mathbb{C}}$  e  $w_1, w_2, w_3$  distintos em  $\mathbb{C}$ , existe uma única transformação de Moebius  $\sigma$  tal que:*

$$\begin{aligned}\sigma(z_1) &= w_1 \\ \sigma(z_2) &= w_2 \\ \sigma(z_3) &= w_3\end{aligned}$$

Dem: Vejamos inicialmente a unicidade. Sejam  $\sigma$  e  $\tau$  de Moebius com

$$\sigma(z_i) = \tau(z_i) \text{ para } i = 1, 2, 3.$$

Então  $\sigma \circ \tau^{-1}(z_i) = z_i$  como  $\sigma \circ \tau^{-1}$  é de Moebius e tem três pontos fixos, temos  $\sigma \circ \tau^{-1} = I$ . Portanto

$$\sigma = \tau$$

Para construir  $\sigma$  vamos supor inicialmente que  $z_i \neq \infty$  para  $i = 1, 2, 3$ . e  $w_1 = 1$ ,  $w_2 = 0$  e  $w_3 = \infty$ .

Daí podemos escrever diretamente

$$\begin{aligned}\sigma(z) &= \frac{z-z_2}{z-z_3} / \frac{z_1-z_2}{z_1-z_3} \\ z_1 = \infty \text{ pomos } \sigma(z) &= \frac{z-z_2}{z-z_3} \\ z_2 = \infty \text{ pomos } \sigma(z) &= \frac{z_1-z_3}{z-z_3} \\ z_3 = \infty \text{ pomos } \sigma(z) &= \frac{z-z_2}{z_1-z_2}\end{aligned}$$

Podemos agora produzir o caso geral a partir destes. Dados  $z_1, z_2, z_3$  e  $w_1, w_2, w_3$

$$\begin{aligned}\tau(z_1) &= 0 = \eta(w_1) \\ \tau(z_2) &= 1 = \eta(w_2) \\ \tau(z_3) &= \infty = \eta(w_3)\end{aligned}$$

Então  $\sigma = \eta^{-1} \circ \tau$  é a solução. (C.Q.D)

2.11. Dizemos que duas transformações de Moebius  $\sigma$  e  $\tau$  são equivalentes quando existe uma transformação de Moebius  $\eta$  tal que

$$\sigma = \eta \tau \eta^{-1}$$

Neste sentido podemos enunciar

### 2.12.

**Proposição 6.** *Toda transformação de Moebius  $\sigma$  é equivalente a uma translação  $\tau$  ou a uma multiplicação  $\mu$ .*

$$\tau(z) = z + b \quad \mu(z) = az$$

$\sigma \neq I$  verifica o primeiro caso se e só se  $\sigma$  tem um único ponto fixo. Portanto o segundo se verifica em caso contrário.

Dem: Suponhamos  $\sigma$  com um único ponto fixo  $z_0$

$$\sigma(z_0) = z_0$$

Consideremos  $\eta(z) = \frac{1}{z-z_0}$ , portanto  $\eta(z_0) = \infty$ . Daí temos que  $\eta\sigma\eta^{-1}(\infty) = \infty$  e este é o único ponto fixo de  $\eta\sigma\eta^{-1}$  pois

$$\eta\sigma\eta^{-1}(z_1) = z_1 \Rightarrow \sigma(\eta^{-1}(z_1)) = \eta^1(z_1)$$

e  $\eta^{-1}(z_1)$  é ponto fixo de  $\sigma$ , logo  $\eta^1(z_1) = z_0$  e  $z_1 = \eta(z_0) = \infty$ .

Se  $\xi = \eta\sigma\eta^{-1}$  tem apenas o  $\infty$  fixo então  $\xi$  é uma translação pois se

$$\xi(z) = \frac{az + b}{cz + d}$$

temos que  $\xi(\infty) = \frac{a}{c} = \infty$ , donde  $c = 0$ . A equação de determinação dos pontos fixos é

$$cz^2 + (d - a)z - b = 0$$

onde  $(d - a)z - b = 0$  e  $z = \frac{b}{d-a}$  e  $z = \infty$  se para  $a = d$  e a expressão de  $\xi$  fica

$$\xi(z) = z + \frac{b}{d}$$

Suponhamos agora  $\sigma$  com dois pontos fixos  $\sigma(z_0) = z_0 \neq z_1 = \sigma(z_1)$ .

Consideremos  $\eta(z) = \frac{z - z_0}{z - z_1}$ ,  $\eta(z_0) = 0$  e  $\eta(z_1) = \infty$ .

Seja  $\xi = \eta\sigma\eta^{-1}$ , então  $\xi(\infty) = \infty$  e  $\xi(0) = 0$ .

$$\xi(z) = \frac{az + b}{cz + d}$$

$$\xi(\infty) = \frac{a}{c} = \infty \text{ nos dá } c = 0$$

$$\xi(0) = \frac{b}{d} = 0 \text{ nos dá } b = 0, \text{ donde}$$

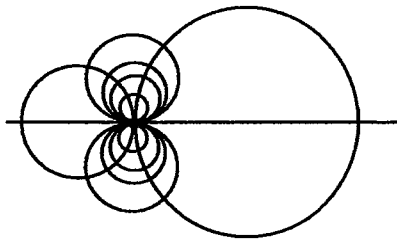
$$\xi = \frac{a}{d}z$$

(C.Q.D)

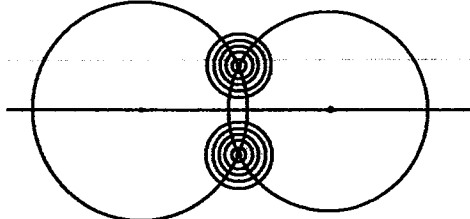
**Observação 6.**  $\xi = \eta\sigma\eta^{-1}$  é chamado também de conjugada de  $\sigma$  por  $\eta$ . Passar de  $\sigma$  para  $\xi$  é uma espécie de mudar de referencial ou observar de modo diferente o "mesmo" fenômeno topológico.  $\xi$  e  $\sigma$  tem as mesmas propriedades geométricas. Sabemos que as transformações de Moebius preservam círculos, ângulos e orientação. Se  $\sigma$  deixa um círculo  $C$  invariante então  $\xi$  deixa invariante o círculo  $\eta(C)$ . Assim feixes invariantes por  $\sigma$  vão em feixes invariantes por  $\xi$ .

2.13. Dados dois círculos  $C_1$  e  $C_2$ , em  $\tilde{\mathbb{C}}$  o conjunto dos círculos S ortogonais a ambos  $C_1$  e  $C_2$  é chamado de um feixe de círculos. Se  $C_1$  e  $C_2$  tem um só ponto em comum, então o feixe de círculos que  $C_1$  e  $C_2$  determinam é chamado de feixe parabólico. Se  $C_1$  e  $C_2$  tem dois pontos em comum então o feixe é hiperbólico. Se  $C_1$  e  $C_2$  não tem ponto em comum o feixe que eles determinam é chamado elítico.

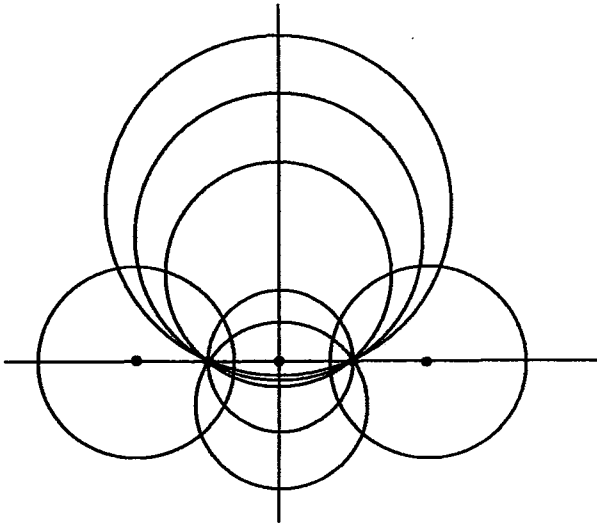
Exemplos em  $\tilde{\mathbb{C}}$   
Parabólicas



Hiperbólicas



Elíticas



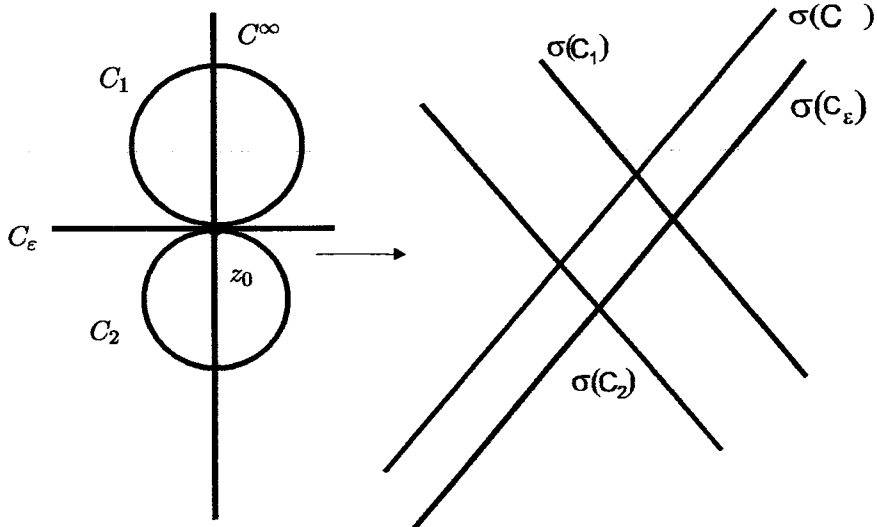
Se  $\mathcal{F}(\mathcal{C}_1, \mathcal{C}_2)$  é o feixe determinado pelos círculos  $\mathcal{C}_1$  e  $\mathcal{C}_2$  de  $\tilde{\mathbb{C}}$  observe que se  $S_1$  e  $S_2$  são círculos de  $\mathcal{F}(\mathcal{C}_1, \mathcal{C}_2)$  então  $\mathcal{C}_1$  e  $\mathcal{C}_2$  estão no feixe determinado por  $S_1$  e  $S_2$ , ou seja, os feixes  $\mathcal{F}(\mathcal{C}_1, \mathcal{C}_2)$  e  $\mathcal{F}(S_1, S_2)$  são mutuamente ortogonais. Para ver isso basta levarmos, por uma transformação de Moebius, os exemplos da esquerda acima nos da direita, pois fica óbvia a ortogonalidade dos feixes  $\mathcal{F}(\mathcal{C}_1, \mathcal{C}_2)$  e  $\mathcal{F}(S_1, S_2)$ .

Caso parabólico:

Se  $\mathcal{C}_1 \cap \mathcal{C}_2 = \{z_0\}$  o feixe  $\mathcal{F}(\mathcal{C}_1, \mathcal{C}_2)$  é formado por círculos que se tangenciam em  $\{z_0\}$ . Tomemos  $\sigma$  de Moebius com

$$\sigma(z_0) = \infty$$

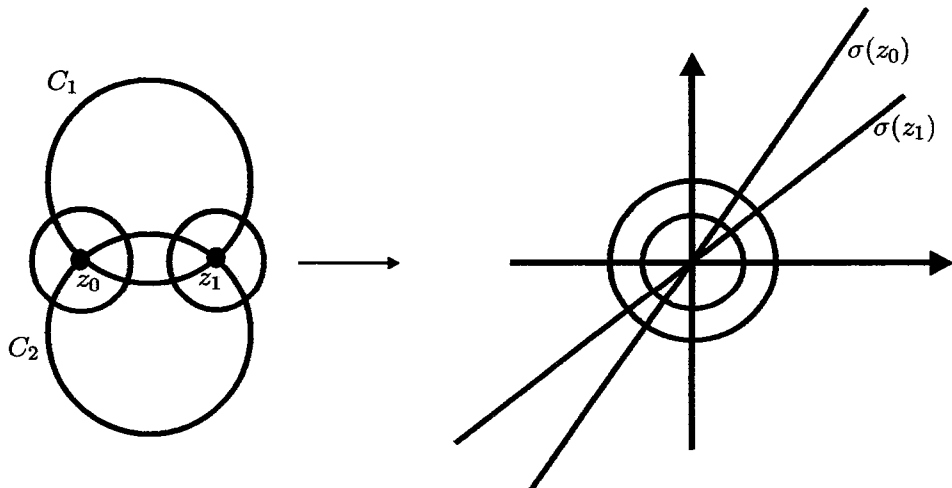
Assim, o feixe  $\mathcal{F}(\mathcal{C}_1, \mathcal{C}_2)$  vai no feixe  $\mathcal{F}(\sigma(\mathcal{C}_1), \sigma(\mathcal{C}_2))$ . Mas  $\sigma(\mathcal{C}_\infty)$ ,  $\sigma(\mathcal{C}_\epsilon)$  são retas paralelas e portanto o feixe correspondente é o de retas paralelas, todas ortogonais a  $\sigma(\mathcal{C}_\infty)$  e  $\sigma(\mathcal{C}_\epsilon)$ . Consequentemente o feixe que contém  $\sigma(\mathcal{C}_\infty)$  e  $\sigma(\mathcal{C}_\epsilon)$  também é de retas paralelas e temos a ortogonalidade mutua, o mesmo então valendo para suas imagens inversas por  $\sigma$



#### Caso hiperbólico

$\mathcal{C}_1 \cap \mathcal{C}_2 = \{z_0, z_1\}$ . Neste caso tomamos  $\sigma$  de Moebius com  
 $\sigma(z_0) = 0$  e  $\sigma(z_1) = \infty$

e aplicando o mesmo argumento acima.



### Caso elítico

Dados  $\mathcal{C}_\infty$  e  $\mathcal{C}_\epsilon$  que não tem ponto em comum, tomamos dois círculos  $S_1$  e  $S_2$  ortogonais a ambos  $\mathcal{C}_\infty$  e  $\mathcal{C}_\epsilon$  e estes tem dois pontos em comum  $z_0$  e  $z_1$ . Daí procedemos como no caso hiperbólico. Obtemos a mesma configuração.

Se  $\mathcal{F}$  é um feixe de círculos, denotamos por  $\mathcal{F}^\perp$  o feixe perpendicular a  $\mathcal{F}$ . Então temos

$$\begin{aligned}\mathcal{F} \text{ parabólico} &\Leftrightarrow \mathcal{F}^\perp \text{ parabólico} \\ \mathcal{F} \text{ hiperbólico} &\Leftrightarrow \mathcal{F}^\perp \text{ elítico}\end{aligned}$$

Chamamos também  $\mathcal{F}^\perp$  de dual ou conjugado de  $\mathcal{F}$ .

Temos então uma geometria que envolve pontos, círculos, ângulos e orientação. O conjunto das transformações de Moebius  $M$  é um grupo de transformações que preservam tais elementos. Portanto raciocinarmos numa configuração é equivalente a fazermos o mesmo com sua imagem por qualquer transformação de Moebius. Se estamos trabalhando em  $\tilde{\mathbb{C}}$ , procuramos sempre envolver o zero ou o infinito para termos retas, feixe de círculos cocentricos, etc. Quando usamos a esfera de Riemann já não faz muita diferença.

As transformações de Moebius não preservam em geral a distância euclidiana de  $\mathbb{C}$ . Mais precisamente as únicas que preservam são as rotações, translações e suas composições.

**2.14.** Observe que a inversão segundo um círculo  $C$  em  $\tilde{\mathbb{C}}$  ou a reflexão segundo uma reta  $R$  (que chamaremos também de inversão) pode ser dada em termos de círculos e ortogonalidade.

#### Exercício:

- 1) Prove que se  $\sigma$  é transformação de Moebius e  $(z, z')$  são inversos segundo  $C$  então  $(\sigma(z), \sigma(z'))$  são inversos segundo  $\sigma(C)$ .
- 2) Usando o exercício (1) e a noção de equivalência (2.11), mostre que a composição de duas inversões segundo círculos  $C_1$  e  $C_2$  de  $\tilde{\mathbb{C}}$  é uma transformação de Moebius.
- 3) Seja  $X \subset \tilde{\mathbb{C}}$ . Verifique que o conjunto das transformações de Moebius  $\sigma$  deixam  $X$  invariantes, isto é,  $\sigma(X) = X$  formam um subgrupo de  $M$ .
- 4) Se  $X \subset \tilde{\mathbb{C}}$  é um círculo ou uma reta ele divide  $\tilde{\mathbb{C}}$  em duas regiões  $A$  e  $B$ . Verifique para  $\sigma$  em  $M$  com  $\sigma(X) = X$ 
  - i) se  $z_0 \in A$  e  $\sigma(z_0) \in A$  então  $\sigma(A) \subset A$
  - ii) se  $z_0 \in A$  e  $\sigma(z_0) \in B$  então  $\sigma(A) \subset B$  e  $\sigma(B) \subset A$  (Dê um exemplo deste caso)
- 5) Mostre que se  $\sigma$  é uma transformação (homeomorfismo) de  $\tilde{\mathbb{C}}$  que preserva círculos, ângulos e orientação então ela é de Moebius.

**2.15.**

**Definição 9.** Se uma transformação de Moebius deixa um feixe parabólico ou hiperbólico ou elítico invariante (cada círculo) ela recebe respectivamente o nome do feixe de círculos conjugado. Caso ela não deixa nenhum feixe invariante é chamada Loxodrômica.

- 6) Verifique que uma transformação de Moebius:  
parabólica é equivalente a uma translação;

hiperbólica é equivalente a uma homotetia;  
elítica é equivalente a uma rotação.

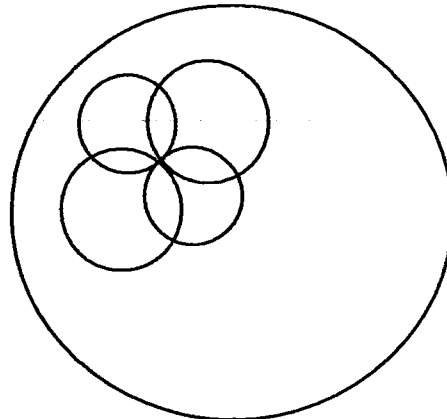
7) Escreva uma homotetia de razão  $\lambda$  como composição de duas inversões em círculos  $C_1$  e  $C_2$  de  $\tilde{\mathbb{C}}$

8) Se  $\sigma$  é parabólica, hiperbólica ou elítica toda equivalente a ela o será respectivamente.

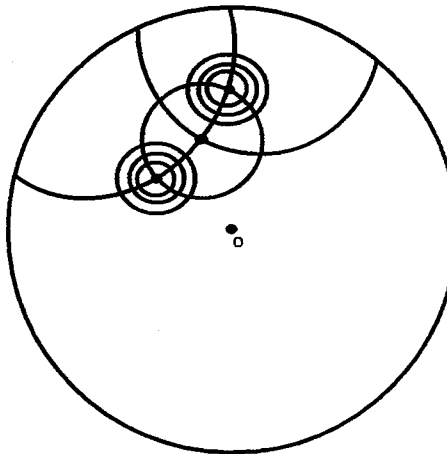
9) Se  $\sigma$  deixa um círculo de  $\tilde{\mathbb{C}}$  invariante  $\sigma$  não é loxodrómica.

Na esfera, os feixes de círculos acima descritos correspondem aos das figuras abaixo, com as mesmas definições, pois a projeção estereográfica preserva círculos e ângulos.

Parabólico e seu conjugado, também parabólico, por um ponto genérico da esfera.



Elítico e seu conjugado, hiperbólico por dois pontos genéricos da esfera.



2.16. Existem alguns subgrupos do grupo das transformações de Moebius que queremos destacar:

1) O semiplano de Poincaré.

Seja  $P$  o semiplano superior de  $\tilde{\mathbb{C}}$

$$P = \{z \in \tilde{\mathbb{C}} \mid \operatorname{Im}(z) \geq 0 \text{ ou } z = \infty\}$$

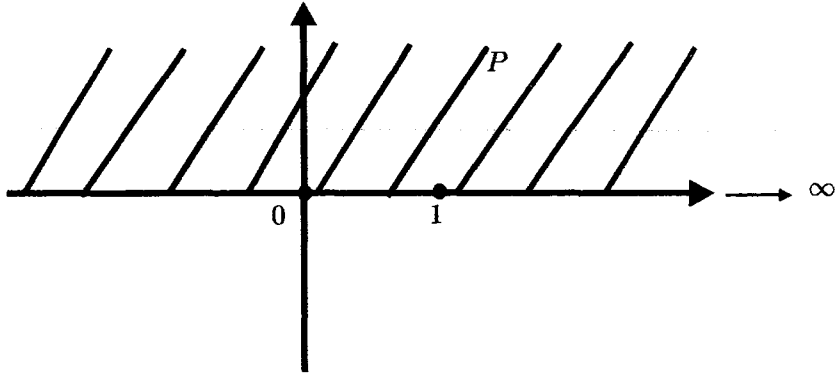
Seja  $\mathbb{M}_P \subset \mathbb{M}$  o subgrupo das transformações de Moebius que deixa  $P$  invariante

$$\sigma \in \mathbb{M}_P \Leftrightarrow \sigma \in \mathbb{M} \text{ e } \sigma(P) = P$$

Vamos descrever-las por suas expressões analíticas

$$\sigma(z) = \frac{az + b}{cz + d}; \quad ad - bc \neq 0$$

Como  $\sigma(P) = P$  e  $\sigma$  tem inversa então  $\sigma$  leva os reais nos reais incluindo  $\infty$ , assim como sua inversa.



Sejam  $\sigma(z_1) = 1$ ,  $\sigma(z_2) = 0$  e  $\sigma(z_3) = \infty$ . Então  $z_1, z_2, z_3$  são reais (ou  $\infty$ ). Como os pontos e respectivas imagens determinam  $\sigma$  podemos escrevê-la com coeficientes reais.

$$\sigma(z) = \frac{az + b}{cz + d}; \quad ad - bc \neq 0$$

$a, b, c$  e  $d$  reais.

Para saber se  $\sigma$  preserva o semiplano superior basta examinar  $\sigma$  num ponto de  $P$ , digamos  $i$ . ( 2.14 exercício 4)

$$\sigma(i) = \frac{ai + b}{ci + d}$$

e devemos pedir  $\operatorname{Im}\sigma(i) > 0$ . Vejamos

$$\frac{ai + b}{ci + d} = \frac{(ai + b)(d - ci)}{c^2 + d^2} = \frac{bd + ac + (ad - bc)i}{c^2 + d^2}$$

Portanto a condição  $\operatorname{Im}\sigma(i) > 0$  é equivalente a  $ad - bc > 0$ .

$P$  juntamente com o grupo de transformações  $\mathbb{M}_P$  é chamado de semiplano de Poincaré.

## 2) O disco unitário

Sejam  $D$  o disco unitário de  $\tilde{\mathbb{C}}$  e  $\mathbb{M}_D$  o subgrupo das transformações de Moebius que deixam  $D$  invariante.

$$\sigma \in \mathbb{M}_D \Leftrightarrow \sigma \in \mathbb{M} \text{ e } \sigma(D) = D$$

Como  $\sigma$  tem inversa temos que o círculo unitário é também invariante

$$\sigma(S^1) = S^1$$

Vamos determinar as transformações de  $\mathbb{M}_D$  usando o conhecimento que temos das transformações de semiplano de Poincaré. Para isto tomamos uma  $\xi \in \mathbb{M}$  tal que

$$\xi(D) = P$$

por exemplo, podemos tomar  $\xi$  assim

$$\begin{aligned}\xi(1) &= 1 \\ \xi(-i) &= 0 \\ \xi(i) &= \infty \text{ donde} \\ \xi(z) &= \frac{z+i}{z-i}/\frac{1+i}{1-i} \text{ ou} \\ \xi(z) &= \frac{z+i}{iz+1}\end{aligned}$$

Como  $\xi$  preserva círculos temos que  $S^1$  vai em  $\mathbb{R} \cup \{\infty\}$ . Para saber se o disco  $D$  vai um  $P$  basta ver onde vai o zero.

$$\xi(0) = i \in P$$

Observe agora que  $\sigma \in \mathbb{M}_P$  se e somente se  $\xi^{-1}\sigma\xi \in \mathbb{M}_D$ . Calculemos tomando as matrizes que representam estas transformações

$$\sigma(z) = \frac{az+b}{cz+d}$$

onde  $a, b, c$  e  $d$  são reais quaisquer que satisfazem  $ad - bc > 0$ . Então temos apenas

$$\begin{aligned}\begin{pmatrix} a & b \\ c & d \end{pmatrix} \text{ com } \det \begin{pmatrix} a & b \\ c & d \end{pmatrix} &= ad - bc > 0 \\ \xi(z) = \frac{z+i}{iz+1} \text{ com matriz } &\begin{pmatrix} 1 & i \\ i & 1 \end{pmatrix}\end{aligned}$$

Uma transformação genérica de  $\mathbb{M}_D$  é então do tipo

$$\xi^{-1}\sigma\xi$$

portanto tem para matriz de coeficientes

$$\frac{1}{2} \begin{pmatrix} 1 & -i \\ -i & 1 \end{pmatrix} \begin{pmatrix} a & b \\ c & d \end{pmatrix} \begin{pmatrix} 1 & i \\ i & 1 \end{pmatrix} = \frac{1}{2} \begin{pmatrix} (a+d) + (b-c)i & (b+c) + (a-d)i \\ (b+c) - (a-d)i & (a+d) - (b-c)i \end{pmatrix}$$

Como  $a, b, c, d$  são reais quaisquer, apenas com  $ad - bc > 0$ , os números complexos que aparecem na primeira linha são quaisquer. A divisão por 2 é irrelevante e temos que a matriz de uma transformação genérica de  $\mathbb{M}_D$  é do tipo

$$\begin{pmatrix} e & f \\ \bar{f} & \bar{e} \end{pmatrix}$$

Como esta tem o mesmo determinante que o de  $\sigma$  a transformação de  $M_D$  é do tipo

$$\tau(z) = \frac{ez+f}{\bar{f}z+\bar{e}} \text{ com } e\bar{e} - f\bar{f} > 0$$

Daí temos  $e \neq 0$  e podemos expressá-la de outra maneira.

$$\tau(z) = \frac{\frac{e}{\bar{e}}z + \frac{f}{\bar{e}}}{\frac{\bar{f}}{e}z + 1} = \frac{e}{\bar{e}} \frac{z + \frac{f}{e}}{\frac{\bar{f}}{e}z + 1}$$

Como  $\frac{e}{\bar{e}}$  tem norma 1 este é do tipo  $e^{i\theta}$ . Finalmente podemos escrever então

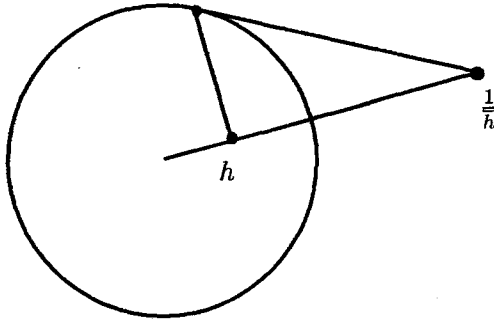
$$\tau(z) = e^{i\theta} \frac{z - h}{-\bar{h}z + 1}$$

Portanto,  $\tau \in M_D$  é uma composição de uma transformação do tipo

$$\frac{z - h}{-\bar{h}z + 1}$$

com uma rotação de ângulo  $\theta$ . Como a rotação está em  $M_D$  temos  $\tau$  também em  $M_D$ .

Observe que  $h = \frac{f}{e}$ , logo  $|h| < 1$  e que  $\tau(h) = 0$  e  $\tau(\frac{1}{\bar{h}}) = \infty$  e que  $h$  e  $\frac{1}{\bar{h}}$  são inversos um do outro segundo o círculo  $S^1$ .



Vejamos que os pontos fixos de  $\tau$  também são inversos um do outro segundo  $S^1$ , se não estão em  $S^1$ , isto é,  $\tau(z_0) = z_0$  e  $z_0\bar{z}_0 \neq 1$ .

De fato, seja

$$\tau(z) = \frac{az + b}{\bar{b}z + \bar{a}}, \quad \text{então}$$

$$\tau\left(\frac{1}{\bar{z}_0}\right) = \frac{\frac{a}{\bar{z}_0} + b}{\frac{\bar{b}}{\bar{z}_0} + \bar{a}} \quad \text{ou}$$

$$\begin{aligned} \tau\left(\frac{1}{\bar{z}_0}\right) &= \frac{a + b\bar{z}_0}{\bar{b} + \bar{a}z_0} = \\ &= \left(\frac{\bar{a}z_0 + \bar{b}}{b\bar{z}_0 + a}\right)^{-1} = \overline{\tau(z_0)}^{-1} = \overline{z_0}^{-1} = \frac{1}{\bar{z}_0} \end{aligned}$$

Se  $z_0$  está em  $S^1$  então  $z_0 = \frac{1}{\bar{z}_0}$  e pode haver um outro ponto fixo  $z_1$  em  $S^1$  independente.

#### Exercícios:

- Seja  $\sigma \in M$  hiperbólica. Mostre que seus pontos fixos são inversos um do outro segundo algum círculo invariante por  $\sigma$ .
- Se um ponto fixo  $z_0 \in D$  de  $\sigma \in M_D$ , é interior a  $D$ , então  $\sigma$  é hiperbólica e existe  $\tau \in M_D$  tal que  $\tau\sigma\tau^{-1}$  é uma rotação.
- Se  $\sigma \in M_D$  tem um único ponto fixo  $z_0$ , este está em  $S^1$ ,  $\sigma$  é parabólico e portanto equivalente a uma translação.
- Se  $\sigma \in M_D$  tem dois pontos fixos  $z_0$  e  $z_1$  com  $z_0$  em  $S^1$  então  $z_1$  deve estar também em  $S^1$ ,  $\sigma$  é elítica e portanto equivalente a uma homotetia.

### 3. ROTAÇÕES DA ESFERA

As rotações da esfera  $S^2$  correspondem em  $\tilde{\mathbb{C}}$ , via projeção estereográfica, a transformações de Moebius particulares.

Pelo exercício (5) de (2.14) e pelo fato da projeção estereográfica preservar círculos, ângulos e orientação temos que as rotações da esfera produzem em  $\tilde{\mathbb{C}}$  transformações de Moebius. Vamos determinar suas expressões analíticas.

Uma rotação  $\sigma$  tem dois pontos fixos na esfera  $p$  e  $-p$ , se  $\pi$  é projeção estereográfica e  $\pi(p) = z_0$  então  $\pi(-p) = -\frac{1}{\bar{z}_0}$  (Verifique).

Seja  $\tau(z) = \frac{z-z_0}{\bar{z}_0 z+1}$ , isto é,  $\tau(z_0) = 0$  e  $\tau(-\frac{1}{\bar{z}_0}) = \infty$ .

O feixe hiperbólico de círculos determinado pelos pontos  $z_0$  e  $-\frac{1}{\bar{z}_0}$  é levado por  $\tau$  no feixe de círculos centrado na origem. Portanto a transformação

$$\tau \sigma \tau^{-1} = \rho$$

é de Moebius, tem 0 e  $\infty$  fixos e deixa invariante o feixe de círculos de centro zero, sendo então uma rotação

$$\rho(z) = uz$$

com  $|u| = 1$

$$\sigma = \tau^{-1} \rho \tau$$

Para obtermos uma matriz para  $\sigma$  basta multiplicarmos então

$$\begin{aligned} & \begin{pmatrix} 1 & z_0 \\ -\bar{z}_0 & 1 \end{pmatrix} \begin{pmatrix} u & 0 \\ 0 & 1 \end{pmatrix} \begin{pmatrix} 1 & -z_0 \\ \bar{z}_0 & 1 \end{pmatrix} = \\ &= \begin{pmatrix} u + z_0 \bar{z}_0 & -uz_0 + z_0 \\ -u\bar{z}_0 + \bar{z}_0 & uz_0 \bar{z}_0 + 1 \end{pmatrix} = \\ &= \begin{pmatrix} u & 0 \\ 0 & 1 \end{pmatrix} \begin{pmatrix} 1 + \bar{u}z_0 \bar{z}_0 & -z_0 + \bar{u}z_0 \\ -u\bar{z}_0 + \bar{z}_0 & uz_0 \bar{z}_0 + 1 \end{pmatrix} \end{aligned}$$

Temos então uma matriz do tipo

$$\begin{pmatrix} u & 0 \\ 0 & 1 \end{pmatrix} \begin{pmatrix} a & b \\ \bar{b} & \bar{a} \end{pmatrix}$$

isto é,

$$\sigma(z) = u \frac{az+b}{-\bar{b}z+\bar{a}} \quad \text{com } |u|=1$$

$a$  e  $b$  quaisquer.

Podemos expressá-la de forma mais simples assim,

Se  $a = 0$

$$\sigma(z) = u \frac{b}{-\bar{b}z+1} \quad \text{ou}$$

$$\sigma(z) = v \frac{1}{z}; \quad |v|=1.$$

Se  $a \neq 0$

$$\sigma(z) = u \frac{a}{\bar{a}} \frac{z + \frac{b}{a}}{\frac{-\bar{b}}{\bar{a}}z + 1} \quad \text{ou}$$

$$\sigma(z) = v \frac{z - c}{-\bar{c}z + 1} ; |v| = 1$$

Como a identidade é deste tipo ( $c=0, v=1$ ) e a composição de duas rotações é uma rotação temos que a composição de duas dos tipos acima é do mesmo tipo. Temos então um subgrupo  $M_{S^2}$  de  $M$ , que corresponde ao grupo das rotações de  $S^2$ . Observe que  $I$  usada acima é também rotação. Assim, é do tipo

$$\tau(z) = \frac{z-a}{\bar{a}z+1}$$

correspondem a rotações de  $S^2$  cujo eixo de rotação passa pelo equador, isto é, seus pontos fixos estão em  $S^1$ .

#### 4. ROTAÇÕES E TRANSLAÇÕES EM $\mathbb{D}$

Já vimos que uma transformação  $\sigma$  de  $M$  que deixa  $D = \{z \in \mathbb{C} \text{ tal que } |z| < 1\}$  invariante é da forma:

$$\sigma(z) = \frac{az+b}{bz+a} \text{ com } |a| > |b| \quad (1)$$

Operando com a expressão sem alterar  $\sigma$  podemos chegar a:

$$\sigma(z) = \frac{a}{\bar{a}} \frac{z - z_1}{-\bar{z}_1 z + 1} \quad (2)$$

onde  $z_1 = -\frac{b}{a}$  e  $\sigma(z_1) = 0$  com  $|z_1| < 1$ . Como  $\frac{a}{\bar{a}}$  tem norma 1 temos que  $\frac{a}{\bar{a}} = e^{i\theta}$ , donde

$$\sigma(z) = e^{i\theta} \frac{z-z_1}{-\bar{z}_1 z + 1}$$

Se  $\rho_\theta$  é a rotação de centro zero e ângulo  $\theta$  de  $\mathbb{D}$  e

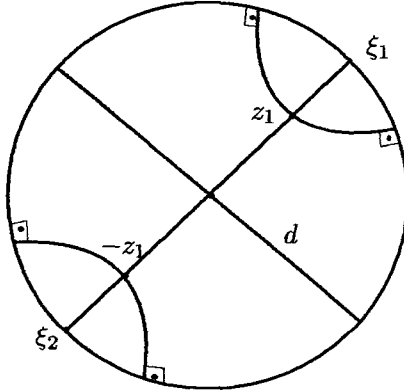
$$h_{z_1}(z) = \frac{z-z_1}{-\bar{z}_1 z + 1}$$

temos  $\sigma$  decomposta em:

$$\sigma = \rho_\theta \circ h_{z_1}$$

Observe que  $h_{z_1}$  é uma transformação hiperbólica de  $\mathbb{D}$  com dois pontos fixos.

Se  $z_1 = re^{i\varphi}$  então os pontos fixos são  $\xi_1 = e^{i\varphi}$  e  $\xi_2 = -e^{i\varphi}$



$$\begin{aligned} h_{z_1}(z) &= \frac{z-z_1}{-z_1 z+1} \\ h_{z_1}(z_1) &= 0 & h_{z_1}(0) &= -z_1 \\ h_{z_1}(c) &= d & h_{z_1}(d) &= c' \end{aligned} \quad (3)$$

Vamos analisar algumas consequências da decomposição dada em (2), isto é

$$\sigma = \rho_\theta \circ h_{z_1}$$

i)  $\sigma$  fixa o centro de  $\mathbb{D}$  se e só se  $\sigma$  é uma rotação euclideana. Se  $\sigma$  fixa  $z_0 \neq 0$  temos que  $\sigma$  é conjugada ( $\eta\sigma\eta^{-1}$ ) a uma rotação euclideana  $\rho_\alpha$ . Como  $\rho_\alpha$  roda um diâmetro de  $\mathbb{D}$  de um ângulo  $\alpha$ ,  $\sigma$  "roda" um ortocírculo por  $z_0$  de um ângulo  $\alpha$  também. Chamamos  $\sigma$  de rotação de  $\mathbb{D}$ .

ii) Suponhamos  $z_0$  e  $z_1$  pontos distintos de  $\mathbb{D}$ . Então  $h$  fixa  $z_1$  e  $z_0$  se e só se  $h$  é a função identidade (isto decorre de (i)), logo duas transformações de  $\mathbb{D}$  são iguais se e só se coincidem em dois pontos distintos aí.

iii) Seja então  $\sigma = \rho_\theta \circ h_{z_1}$  como em (2). Se  $\rho_\pi$  é a rotação euclideana com centro 0 e ângulo razo temos  $\sigma = \rho_\theta \circ \rho_\pi \circ \rho_\pi \circ h_{z_1} = \rho_{(\theta+\pi)} \circ (\rho_\pi \circ h_{z_1})$  (4).

A transformação  $\sigma' = \rho_\pi \circ h_{z_1}$  é dada por

$$\sigma'(z) = \frac{z_1 - z}{1 - \bar{z}_1 z} \quad (5)$$

e mais  $\sigma'(0) = z_1$  e  $\sigma'(z_1) = 0$ . Como  $\sigma'$  tem um ponto fixo em  $\mathbb{D}$  da forma  $\lambda z_1$  ( $0 < \lambda < 1$ ) segue que  $\sigma'$  é uma rotação em  $\mathbb{D}$  em torno do seu ponto fixo e de ângulo razo (por (ii)). Concluindo:

Cada transformação de  $\mathbb{M}$  que deixa  $\mathbb{D}$  invariante é produto de duas rotações em  $\mathbb{D}$  uma sempre euclidiana. Ainda  $\sigma$  é também produto de uma "translação" em  $\mathbb{D}$  por uma rotação euclideana em  $\mathbb{D}$ .

### Exercícios

1) Considere  $\sigma = \rho_\theta \circ h_{z_1}$  como em (2). É possível a decomposição  $\sigma = \rho_\xi \circ h_{z_2}$  com  $z_2 \neq z_1$ ? Justifique a resposta. Ainda, responda e justifique a mesma questão quando  $\sigma$  é a composta de duas rotações.

2) Considere  $G = \{h_{z_1} : z_1 \in \mathbb{D}\}$ ,  $h_{z_1}$  como em (3).  $G$  é um grupo para a composição de transformações? Justifique a resposta.

3) Seja  $z_1 \in \mathbb{D}$ ,  $z_1 \neq 0$ . Considere  $I = \{tz_1 : t \in [0, 1]\}$ . Seja  $S$  um círculo cujo diâmetro seja  $I$ . Construa um ortocírculo  $T$  em  $\mathbb{D}$  que seja ortogonal a  $S$  e também a seu diâmetro  $I$ . Conclua que  $T \cap I$  é o ponto fixo de  $\rho_\pi \circ h_{z_1}$ .

**4.1. Métricas em  $\mathbb{D}$ .** Afim de entendermos melhor as transformações de  $\mathbb{M}$  que deixam  $\mathbb{D}$  invariante vamos procurar propriedades de pares de pontos de  $\mathbb{D}$  que não se alteram quando transformados por tais funções de  $\mathbb{D}$ . Na verdade estamos interessados em metrizar  $\mathbb{D}$  de sorte que suas transformações de Moebius sejam isometrias. Vamos então imitar um procedimento euclideano para esse fim.

Consideramos no plano euclideano uma lista de quatro pontos,  $P_1, P_2, P_3, P_4$



Uma condição necessária e suficiente para que exista uma isometria euclideana levando  $\{P_1, P_2\}$  sobre  $\{P_3, P_4\}$  é que as translações  $P_1 - P_2$  e  $P_3 - P_4$  tenham o mesmo módulo. Na nossa situação vale o seguinte:

**Lema 1.** Seja  $z_1, z_2, w_1, w_2$  uma lista de elementos de  $\mathbb{D}$ . Existe então uma transformação  $\sigma$  de  $\mathbb{D}$  com  $\sigma(z_i) = w_i$  ( $i = 1, 2$ ) se e só se os números  $h_{z_2}(z_1)$  e  $h_{w_2}(w_1)$  tem o mesmo módulo.

**Dem.:** Admitimos  $\sigma$  em  $\mathbb{D}$  tal que  $\sigma(z_i) = w_i$ . A transformação  $h = h_{w_2} \circ \sigma \circ h_{z_2}^{-1}$  é de  $\mathbb{D}$ , fixa zero e  $h(h_{z_2}(z_1)) = h_{w_2}(w_1)$ . Por (i),  $h$  é uma rotação euclidiana e com isto

$$|h_{z_2}(z_1)| = |h_{w_2}(w_1)| \quad (6)$$

Suponhamos que valha (6). Logo existe  $\theta \in S^1$  tal que  $e^{i\theta}h_{z_2}(z_1) = h_{w_2}(w_1)$ . É imediato então que  $\sigma = h_{w_2}^{-1} \circ \rho_\theta \circ h_{z_2}$  leva  $z_i$  em  $w_i$ , ( $i = 1, 2$ ). ■

Em vista desse resultado definamos para os pares de pontos de  $\mathbb{D}$

$$D_0(z_1, z_2) = |h_{z_2}(z_1)| = \frac{|z_1 - z_2|}{|1 - \bar{z}_2 z_1|} \quad (7)$$

Vale então:

**Proposição 7.**  $D_0$  é uma métrica em  $\mathbb{D}$ .

**Dem.:** É claro que  $D_0(z_1, z_2) = D_0(z_2, z_1)$  e este número não é negativo, é zero se e só se  $z_1 = z_2$ . Resta estabelecer que se  $z_1, z_2, z_3$  são pontos de  $\mathbb{D}$  então  $D_0(z_1, z_2) + D_0(z_2, z_3) \geq D_0(z_1, z_3)$ . Pelo lema anterior não há perda de generalidade supormos  $z_1 = x > 0, z_2 = 0$  e  $z_3 = z$ . Temos então que mostrar que  $D_0(x, 0) + D_0(0, z) \geq D_0(x, z)$ , ou seja,  $x + |z| \geq \frac{|z-x|}{|1-xz|}$ .

É suficiente para isto provar que

$$\frac{x+|z|}{1+x|z|} \geq \frac{|z-x|}{|1-xz|} \text{ para } 0 < x < 1 \text{ e } 0 < |z| < 1 \quad (8)$$

Temos

$$\left(\frac{x+|z|}{1+x|z|}\right)^2 = \frac{1+2x|z|+x^2|z|^2-1+x^2+|z|^2-x^2|z|^2}{1+2x|z|+x^2|z|^2} = 1 - \frac{(1-x^2)(1-|z|^2)}{(1+x|z|)^2} \quad (9)$$

$$\left(\frac{|z-x|}{|1-xz|}\right)^2 = 1 - \frac{(1-x^2)(1-|z|^2)}{(1-xz)^2} \quad (10)$$

Subtraindo (10) de (9) temos

$$(1-x^2)(1-z^2)\left(\frac{1}{|1-xz|^2} - \frac{1}{1-x|z|^2}\right) = (1-x^2)(1-|z|^2)\left(\frac{2x(|z|+R(z))}{|1-xz|^2|1+x|z||^2}\right) \geq 0 \quad (11)$$

■

**Corolário 1.** A igualdade (11) é satisfeita se e só se  $R(z) = -|z|$ , isto é, se e só se  $z, 0, x$  são colineares. Mas isto equivale a dizer que  $z_1, z_2, z_3$  estão nesta ordem em um ortocírculo de  $\mathbb{D}$ .

A proposição a seguir engloba o lema (1) e a proposição (7) no contexto do semiplano  $\mathbb{H} = \{z \in \mathbb{C} : \operatorname{Im}(z) > 0\}$  e pode ser facilmente provada.

**Proposição 8.** Seja  $z_1, z_2, w_1, w_2$  uma lista de elementos de  $\mathbb{H}$ . Existe então uma transformação  $\sigma$  desse espaço tal que  $\sigma(z_i) = w_i$  ( $i = 1, 2$ ) se e só se  $|J(h_{z_2}(z_1))| = |J(h_{w_2}(w_1))|$ .

Aqui,  $h_{z_0}$  é definida por  $h_{z_0}(z) = \frac{z-x_0}{y_0}$ ,  $z_0 = x_0 + iy_0 \in \mathbb{H}$ . Mais,  $D'_0(z_1, z_2) = |J(h_{z_2}(z_1))|$  é métrica em  $\mathbb{H}$ .

Pela boa definição de  $D'_0$ , através de um cálculo direto, obtemos

**Proposição 9.** A transformação  $J : \mathbb{H} \rightarrow \mathbb{D}$  satisfaz para  $z_1, z_2$  em  $\mathbb{H}$

$$D_0(J(z_1), J(z_2)) = D'_0(z_1, z_2)$$

Estas últimas proposições podem ser entendidas da seguinte forma:  $D_0(D'_0)$  é função distância entre os pontos de  $\mathbb{D}(\mathbb{H})$ . As transformações de  $\mathbb{D}(\mathbb{H})$  são  $D_0(D'_0)$ -isometrias. Por fim,  $J$  é uma isometria entre  $\mathbb{H}$  e  $\mathbb{D}$ .

Vamos retificar as métricas  $D_0$  e  $D'_0$  pois são limitadas e ainda, não satisfazem a propriedade de aditividade nos segmentos de ortocírculos, ou seja,  $z_2$  é do segmento  $[z_1, z_3]$  se e só se  $D(z_1, z_2) + D(z_2, z_3) = D(z_1, z_3)$ .

A métrica que procuramos é da forma  $D = f \circ D_0$  onde  $f : [0, 1] \rightarrow \mathbb{R}^+$  é estritamente crescente e ilimitada. Escolhendo  $g = \tanh^{-1}$  (inversa da tangente hiperbólica) ou uma sua múltipla  $cg$  ( $c > 0$ ) resolvemos a questão. Tomaremos  $f = 2\tanh^{-1}$ . Formalmente temos

**Proposição 10.** Existe uma métrica  $D$  em  $\mathbb{D}$  tal que

- (i)  $D = f \circ D_0$
- (ii)  $D(z_1, z_2) + D(z_2, z_3) = D(z_1, z_3)$  se e só se  $z_2 \in [z_1, z_3]$  e  $[z_1, z_3]$  é segmento de um ortocírculo de  $\mathbb{D}$ .

**Dem.:** Sejam  $z_1$  e  $z_2$  pontos distintos de  $\mathbb{D}$ . Estes determinam  $\xi_1$  e  $\xi_2$  (em  $S^1$ ) que são os extremos do ortocírculo de  $\mathbb{D}$  determinado por  $z_1$  e  $z_2$ . Podemos supor que a ordem no arco é a de  $\xi_2$  para  $\xi_1$  e a disposição da quadra é  $\xi_2 z_2 z_1 \xi_1$ . Seja  $\sigma$  uma transformação de  $\mathbb{D}$  tal que  $\sigma(\xi_2) = -1$ ,  $\sigma(z_2) = 0$ ,  $\sigma(z_1) = x > 0$  e  $\sigma(\xi_1) = 1$ . Definimos então

$$D(z_1, z_2) = 2\tanh^{-1}(x) = \ln \frac{1+x}{1-x}, x = D_0(z_1, z_2)$$

Por construção  $D = f \circ D_0$  onde  $f = 2\tanh^{-1}$ . Ainda  $D(z_1, z_2) = D(z_2, z_1)$  e este número não negativo é zero se e só se  $z_1 = z_2$ . Vamos então estabelecer (ii).

Suponhamos um terceiro ponto  $z_3$  e seja  $z = \sigma(z_3)$ . Temos  $D(z_1, z_2) + D(z_2, z_3) = D(x, 0) + D(0, z) = 2(\tanh^{-1}(x) + \tanh^{-1}(|z|)) = 2\tanh^{-1} \frac{x+|z|}{1+x|z|} = a$  (12) e também  $D(x, z) = 2\tanh^{-1} \left| \frac{x-z}{1-xz} \right| = b$  (13).

Como  $\tanh^{-1}$  é estritamente crescente,  $a \geq b$  se e só se  $\frac{x+|z|}{1+x|z|} \geq \left| \frac{x-z}{1-xz} \right|$ . O corolário da proposição (1) garante que esta última relação é correta e mais, vale a igualdade se e só se  $z_2 \in [z_1, z_3]$  e  $[z_1, z_3]$  está contido em um ortocírculo de  $\mathbb{D}$ . ■

Podemos transportar a métrica  $D$  para  $\mathbb{H}$  definindo aí

$$D'(z_1, z_2) = D(J(z_1), J(z_2))$$

Desta maneira  $J$  é isometria relativamente às métricas retificadas. Reforçamos mais uma vez que as transformações de  $\mathbb{D}(\mathbb{H})$  continuam isometrias relativamente às métricas novas. Não esqueçamos que essas isometrias preservam ângulos orientados.

Uma isometria de  $\mathbb{D}(\mathbb{H})$  que reverte a orientação dos ângulos é a inversão por um ortocírculo.

**Proposição 11.** Seja  $L$  um ortocírculo de  $\mathbb{D}$  e  $\sigma_L$  a inversão por ele definida. Então  $\sigma_L$  é uma isometria de  $\mathbb{D}$  que reverte a orientação de ângulos aí.

**Dem.:** Podemos supor, sem perda de generalidade, que  $\sigma_L$  é a inversão pelo diâmetro real de  $\mathbb{D}$ . Assim  $\sigma_L(z) = \bar{z}$ . É a restrição de uma reflexão euclidiana ao disco  $\mathbb{D}$ . Por isso reverte a orientação dos ângulos. Por fim,  $D(\sigma_L(z_1), \sigma_L(z_2)) = 2\tanh^{-1} \left| \frac{\bar{z}_1 - \bar{z}_2}{\bar{z}_2 \bar{z}_1 + 1} \right| = D(z_1, z_2)$  e então  $\sigma_L$  é isometria de  $\mathbb{D}$ . ■

Uma inversão por  $L$  é também chamada de reflexão por  $L$  ou simplesmente reflexão de  $\mathbb{D}$  ( $L \subset \mathbb{D}$ ).

### Exercícios

- 1) Defina reflexão por um ortocírculo de  $\mathbb{H}$ .
- 2) Demonstre as proposições 2) e 3)
- 3)  $D_0$  não é aditiva em um diâmetro de  $\mathbb{D}$ . Mostre esse fato.
- 4) Considere  $z_0$  em um ortocírculo  $C$ . Mostre que a equação  $D(z_0, z) = y > 0$  tem exatamente duas soluções em  $C$  para cada  $y$ .

**4.2. Caracterização das isometrias de  $\mathbb{D}(\mathbb{H})$ .** Como uma reflexão não é uma transformação de Moebius mas é também uma isometria a questão natural a saber é se existem outras isometrias que não são funções de Moebius. A resposta é a seguinte:

**Proposição 12.** *Seja  $\sigma$  uma isometria de  $\mathbb{D}$ . Então ou  $\sigma$  é de Moebius ou existe uma reflexão  $\sigma_L$  tal que  $\sigma \circ \sigma_L$  seja de Moebius.*

**Dem.:** Seja  $\sigma$  uma isometria e admitamos que  $\sigma$  tenha dois pontos fixos distintos. Apoiados na aditividade de  $\mathbb{D}$  em ortocírculos concluimos que  $\sigma$  fixa aquele  $C$  determinado pelos dois pontos. Se  $\sigma = \sigma_C$  temos  $\sigma \circ \sigma_C = id$  e então é de Moebius. Se  $\sigma \neq \sigma_C$  existe  $P_0$  fora de  $C$  tal que  $\sigma(P_0) \neq \sigma_C(P_0)$ (\*). Seja  $C^\perp$  o ortocírculo por  $P_0$  que é ortogonal a  $C$ .

Como  $\sigma$  preserva  $C^\perp$  e  $D(P_0, Q_0) = D(\sigma(P_0), \sigma(Q_0))$  segue  $\sigma(P_0) = P_0$  pelo exercício (4) da secção anterior. Assim,  $\sigma$  fixa  $C^\perp$ .

Seja então  $P$  tal que esteja fora de  $C \cup C^\perp$ .  $P$  é dos ortocírculos ortogonais a  $C$  e  $C'$  por  $P$ . Como  $\sigma(P)$  é dos mesmos, segue  $\sigma(P) = P$  e aí  $\sigma = id$ .

Admitamos agora que  $\sigma$  tem apenas um ponto fixo  $F$ . Para  $P \neq F$  consideremos a rotação de  $\mathbb{D}$  em torno de  $F$  que traz  $\sigma(P)$  de volta a  $P$ . Segue disto que  $\rho \circ \sigma$  tem dois pontos fixos distintos. Aí então pelo caso anterior  $\sigma = \rho^{-1}$  (é de Moebius) ou  $\sigma_L \circ \sigma = \rho^{-1}$ .

Finalmente se  $\sigma$  não tiver pontos fixos em  $\mathbb{D}$  seja  $\sigma' = \sigma \circ h_a^{-1}$  onde  $a = \sigma^{-1}(0)$ . Com isto  $0$  é ponto fixo de  $\sigma'$ . Se  $\sigma'$  tiver dois pontos fixos concluímos ou  $\sigma = h_a$  ou existe  $L$  tal que  $\sigma_L \circ \sigma = h_a$ . Se  $\sigma'$  tiver apenas um ponto fixo neste caso usamos o mesmo racioncínio do caso anterior para concluir nossa tese. ■

**Corolário 2.** *Seja  $\sigma$  uma isometria em  $\mathbb{D}$ . Se  $\sigma$  preserva ângulos orientados então  $\sigma$  é de Moebius. Caso contrário, reverte-os e existe  $L$  tal que  $\sigma_L \circ \sigma$  é de Moebius.*

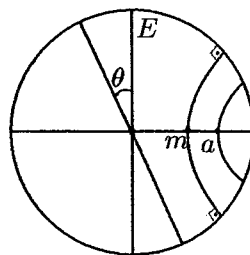
**Corolário 3.** *Duas isometrias de  $\mathbb{D}$  são iguais se e só se coincidem em três pontos que não são de um mesmo ortocírculo. Se ambas preservam (revertят) a orientação então são iguais se e só se coincidem em dois pontos distintos.*

**Dem.:** Suponhamos  $\sigma$  e  $\sigma'$  isometrias que revertem a orientação (dos ângulos orientados) e coincidem em dois pontos distintos. Logo  $\sigma_L \circ \sigma$  e  $\sigma'_L \circ \sigma'$  coincidem nos mesmos pontos se  $L$  for o ortocírculo determinados pelos tais. Disto  $\sigma_L \circ \sigma = \sigma'_L \circ \sigma'$  em  $\mathbb{D}$  pois são de Moebius. Assim  $\sigma = \sigma'$ . As demais teses são consequências imediatas da proposição 12 e corolário 2. ■

Destacaremos a seguir a família dos ortocírculos de  $\mathbb{D}$  através da seguinte

**Proposição 13.** Se  $\sigma$  é uma transformação de Moebius de  $\mathbb{D}$  então  $\sigma$  é produto (composição) de duas reflexões por ortocírculos aí. Senão, supondo  $\sigma$  isometria de  $\mathbb{D}$ , ou é uma reflexão ou é produto de três, ainda por ortocírculos de  $\mathbb{D}$ .

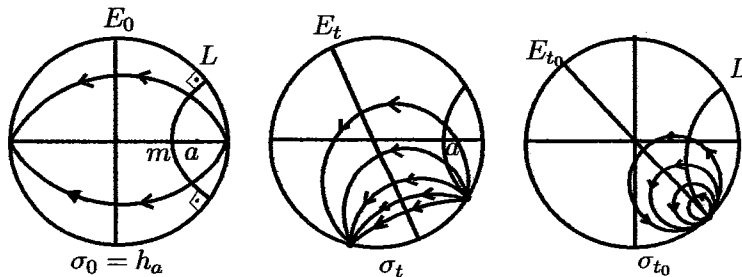
**Dem.:** Seja  $\sigma = \rho_{2\theta} \circ h_a$  onde  $a = \sigma^{-1}(0)$ . Seja  $L(E)$  o ortocírculo ortogonal ao diâmetro de  $\mathbb{D}$ , que contém  $a$ , pelo ponto médio  $m(0)$  do segmento  $[0, a]$  ( $[-a, a]$ ). Seja  $L' = \rho_\theta(E)$ . Temos então  $h_a = \sigma_E \circ \sigma_L$  e  $\rho_{2\theta} = \sigma_{L'} \circ \sigma_E$  pelo corolário 2.



Assim  $\sigma = \sigma_{L'} \circ \sigma_E \circ \sigma_E \circ \sigma_L = \sigma_{L'} \circ \sigma_L$ . Para finalizar, se  $\sigma$  não for reflexão e não for de Moebius  $\sigma \circ \sigma_M$  é de Moebius e a tese segue, para  $M$  ortocírculo de  $\mathbb{D}$  ■

Vamos concluir esta secção fazendo uma animação das transformações de Moebius sugerida pela proposição anterior. Especificamente vamos considerar o subgrupo das rotações euclidianas de  $\mathbb{D}$ ,  $S = \{\rho_t : t \in \mathbb{R}\}$ , e uma translação  $h_a$ , de  $\mathbb{D}$ , fixada ( $a > 0$ ). Consideremos as transformações

$$\sigma_t = \rho_{2t} \circ h_a = \sigma_{E_t} \circ \sigma_L$$



### Exercícios

- 1) Sejam  $P_0$  e  $P_1$  pontos de  $\mathbb{D}$  e  $S = \{P \in \mathbb{D} : D(P_0, P) = D(P_1, P)\}$ . Então  $S$  é um ortocírculo de  $\mathbb{D}$ . Determine condições sobre o par  $\{P_1, P_2\}$  para que  $S$  seja um diâmetro de  $\mathbb{D}$ .
- 2) Seja  $\sigma$  uma isometria cujo conjunto de pontos fixos é exatamente um ortocírculo. Então  $\sigma$  é uma reflexão através desse arco.
- 3) Exiba uma isometria que é produto de três reflexões e não é uma reflexão.
- 4) Faça uma animação de transformações de Moebius em  $\mathbb{H}$  a partir de uma família de translações ( $\sigma_t = \rho_\theta \circ h_t$ )

**4.3. Geometria Hiperbólica.** O "programa de Erlanger" proposto por Felix Klein (1872) para o estudo de geometria era o seguinte:

Seja  $G$  um grupo de transformações de uma espaço  $Y$  ( $G$  é um subgrupo do grupo das bijeções de  $Y$  com a operação de composição destas aplicações). Consideremos  $X$  subconjunto de  $Y$  tal que para qualquer  $h \in G$  temos  $h(X) = X$  e ainda dados  $x_1$  e  $x_2$  em  $X$  existe sempre  $h$  em  $G$  com  $h(x_1) = x_2$ .

Os elementos de  $X$  são chamados de pontos e os de  $G$  de transformações de pontos ou movimentos em  $X$ . Se uma figura  $F'$  de  $X$  ( $F'$  é apenas um subconjunto de  $X$ ) é imagem de outra  $F$  através de um movimento em  $X$  elas são ditas  $G$ -congruentes.

Figuras especiais são (como no caso de geometria euclídea plana) pontos, retas, segmentos de retas, círculos, cônicas e polígonos. Relações habituais entre essas figuras são incidência (entre ponto e reta ou círculo), paralelismo e perpendicularismo (entre retas), distância entre pontos, comprimento de curvas e áreas de polígonos. A  $G$ -geometria de  $X$  é então o estudo de propriedades (de figuras) que são invariantes pelas transformações de  $G$ . Isto é dito de forma um pouco vaga como "o estudo dos invariantes da ação de  $G$  sobre  $X$ ". Vejamos então a noção de ação de  $G$  em  $X$ .

**Definição 10.** A ação de um grupo  $G$  de transformações de  $X$ , sobre  $X$ , é a dinâmica provocada em  $X$  pelos movimentos de seus pontos. Mais formalmente a ação de  $G$  sobre  $X$  é a função  $\alpha : G \times X \rightarrow X$  tal que  $\alpha(h, x) = h(x)$

No nosso caso, pelo que foi visto nas secções anteriores, tanto faz estudarmos a ação de  $M(\mathbb{D})$  = grupo das transformações de Moebius de  $\mathbb{D}$  sobre  $\mathbb{D}$ , como estudar  $M(\mathbb{H})$  = grupo das transformações de Moebius de  $\mathbb{H}$  agindo sobre  $\mathbb{H}$  pois estes são isomorfos via conjugação por uma isometria de  $\mathbb{H}$  sobre  $\mathbb{D}$ . Mesma consideração pode ser feita a respeito das ações dos grupos de isometrias sobre  $\mathbb{D}$  e  $\mathbb{H}$ .

Para o que segue seja  $M(X)$  o grupo das transformações de Moebius de  $X$  bem como  $Iso(X)$  aquele das isometrias de  $X$ . ( $X \in \{\mathbb{D}, \mathbb{H}\}$ ).

**Definição 11.** Um movimento em  $X$  é qualquer elemento de  $Iso(X)$ . Ele é dito próprio se for de  $M(X)$

**Definição 12.** Um subgrupo  $S$  de  $Iso(X)$  é dito a 1-parâmetro (real) se for imagem homomorfa do grupo  $(\mathbb{R}, +)$

A notação usual é  $S = \{h^t : t \in \mathbb{R}\}$  ou simplesmente  $S = \{h^t\}$ . Ainda convençionamos que  $h^1 = h$  é denominado de gerador de  $\{h^t\} = S$ .

**Definição 13.** O  $S$ -ciclo por  $x$  em  $X$  ou o  $h$ -ciclo por  $x$ , onde  $h$  é gerador de  $S$ , é  $\{h^t(x) : t \in \mathbb{R}\}$

Vamos exibir subgrupos (a um parâmetro) de  $M(X)$  para cada tipo de transformação de  $X$ . Como imagem homomorfa de um subgrupo a um parâmetro é ainda um tal, vamos nos restringir às transformações sob formas normais:

$$\begin{array}{ll} h(z) = 1 + z & h^t(z) = t + z \\ h(z) = \rho \cdot z & h^t(z) = \rho^t \cdot z \quad (\rho > 0) \\ h(z) = e^{i\theta} \cdot z & h^t(z) = e^{it\theta} \cdot z \quad (\theta \in \mathbb{R}) \end{array} \quad (*)$$

**Definição 14.** Um  $h$ -ciclo é um hiperciclo se  $h$  for hiperbólica, um horociclo se  $h$  for parábólica e ciclo elítico se  $h$  for elítica. Em todos esses casos  $h \neq id_X$

**Definição 15.**  $X$  é denominado de plano hiperbólico. Cada elemento  $x$  de  $X$  é denominado ponto desse plano.

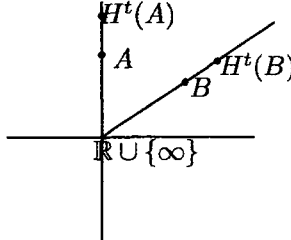
**Definição 16.** Uma reta hiperbólica de  $X$  é um hiperciclo que é um ortocírculo.

**Definição 17.** Uma curva equidistante em  $X$  é um hiperciclo que não é ortocírculo.

**Definição 18.** Um círculo hiperbólico é qualquer ciclo elítico de  $X$ .

Algumas consequências das definições são as seguintes:

$R_1$ ) Se  $h$  for hiperbólico então um único hiperciclo de  $h$  é uma reta hiperbólica. É a reta  $L$  invariante de  $h$ . Os demais hiperciclos são curvas equidistantes de  $L$  em  $X$ . Isto pode ser visto tomando-se  $h$  sob forma normal em  $\mathbb{H}$ .



$$\forall t \in \mathbb{R} D'(A, B) = D'(h^t(A), h^t(B))$$

$R_2$ ) Um círculo hiperbólico é qualquer círculo (euclidiano) contido em  $X$ . Isto é justificado pelo exercício 3 pág 49.

$R_3$ ) Dados  $x_1$  e  $x_2$  pontos de  $X$  existe sempre um movimento (próprio) levando um no outro. Porém um par de pontos é imagem de outro par se e só se a distância dos primeiros é igual a dos últimos. Dessa forma  $D_X \in \{D, D'\}$  gera um invariante para que dois pares de pontes sejam congruentes. Tal invariante é o número real "distância entre os elementos de cada par". É pois um invariante da ação de  $M(X)$ . Logo também o é da ação de  $Iso(X)$  porque  $M(X)$  está contido em  $Iso(X)$ . Os invariantes para ternos, quadras e n-uplas de pontos em geral são dados em função destes mais alguma condição.

E invariantes para retas hiperbólicas? Comecemos com:

**Definição 19.** Duas retas hiperbólicas  $L$  e  $M$  de  $X$  são paralelas se os extremos de seus arcos determinam exatamente três pontos no bordo de  $X$ . ( $\partial\mathbb{D} = S^1$  e  $\partial\mathbb{H} = \mathbb{R} \cup \{\infty\}$ ). São ultra paralelas em  $X$  se não têm ponto em comum e os extremos de seus arcos determinam quatro pontos no bordo desse espaço.

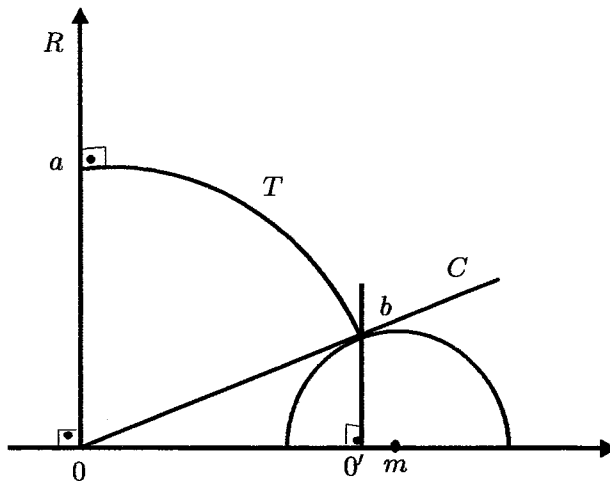
Fica evidente que as duas noções de paralelismo são relações simétricas porém não são transitivas. Este é um traço marcante que diferencia a geometria hiperbólica da geometria euclidiana. Mais:

R<sub>4</sub>) Dados um ponto  $z_0$  de  $X$  e uma reta hiperbólica  $L$  aí, com  $z_0$  não pertencente  $L$ , existem infinitas retas hiperbólicas  $M$ ,  $M \subset X$ , por  $z_0$  tal que  $L$  e  $M$  são ultra-paralelas. Ainda, existe um par  $L_1$  e  $L_2$  de retas hiperbólicas de  $X$  cada uma contendo  $z_0$  e tal que  $L_1$  e  $M$  e  $L_2$  e  $M$  são paralelas.

Vamos introduzir um invariante para pares de retas hiperbólicas ultra-paralelas. Antes

**Definição 20.** As retas hiperbólicas  $L$  e  $M$  são perpendiculares (entre si) se cortam-se em ângulo reto pelo ponto comum  $z_0$ . Dizemos também que uma é perpendicular a outra por  $z_0$ .

R<sub>5</sub>) Sejam  $R$  e  $S$  ultra-paralelas em  $X$ . Então existe uma reta hiperbólica  $T$  de  $X$  tal que  $T$  é perpendicular a cada uma delas. Ademais,  $T$  é única. Para justificar o resultado, podemos supor que  $R$  emana de  $\infty$ . Senão, usamos um rotação de ângulo reto pelo ponto médio do arco que a define.



O ponto  $b$  em  $S$  é definido pela inversão de  $O$  segundo o círculo  $S$ . Desta maneira  $T$  é a reta hiperbólica por  $a$  e  $b$ .

Observemos que na construção de  $T$  fica claro que  $D'(a, b)$  é o mínimo do conjunto  $\{D'(z_1, z_2) : z_1 \in S, z_2 \in R\}$  tendo-se em conta que  $C$  é uma curva equidistante de  $R$ . Por isso definimos  $D'(R, S) = D'(a, b)$  e este número é então o invariante de um par de ultraparalelas. Vale então:

R<sub>6</sub>) Um movimento transforma um par de ultra paralelas em outro se e só se os invariantes são iguais.

Isto é claro pois se  $D'(a, b) = D'(c, d)$  existe  $\sigma$  (em  $M(X)$ ) tal que  $\sigma(a) = c$  e  $\sigma(b) = d$  e assim  $\sigma(T) = T'$  onde  $T$  e  $T'$  são as retas hiperbólicas perpendiculares a cada par. Logo um par é transformado no outro.

É oportuno aqui observar que se colocarmos orientação nos pares os invariantes são somente de  $Iso(X)$ . Especificamente, suponhamos cada par igualmente orientado. Vale

então  $R_6$  para  $Iso(X)$ , mas o exemplo abaixo mostra que a igualdade dos invariantes somente é insuficiente para  $M(X)$ .

**Exemplo:** Sejam  $RS$  ultraparalelas igualmente orientadas e  $R'S' = RS$  igualmente orientadas mas de forma reversa a original. Uma reflexão pela perpendicular comum valida  $R_6$  mas não existe elemento de  $M(X)$  que transforme um par orientado em outro.

No caso de retas hiperbólicas concorrentes o invariante de  $M(X)$  é o ângulo orientado. No caso de  $Iso(X)$  é a medida do ângulo (sem orientação) que é o invariante.

Continuemos explorando resultados envolvendo a métrica de  $X$ . Vamos falar de comprimento de curvas de  $X$ .

Sejam  $z_0$  e  $w_0$  pontos de  $X$  e  $C$  uma curva de  $X$  que os liga, isto é: existe função contínua  $\xi : [0, 1] \rightarrow X$  com  $\xi[0, 1] = C$ ,  $\xi(0) = z_0$  e  $\xi(1) = w_0$ . Uma partição  $0 = t_0 < t_1 < \dots < t_n = 1$ ,  $n \geq 1$ , de  $[0, 1]$ , determina uma lista de pontos  $\xi_0 = \xi(t_0) = z_0, \xi_1 = \xi(t_1), \dots, \xi_n = \xi(t_n) = w_0$  que podem ser ligados por segmentos de retas hiperbólicas,  $[\xi_{i-1}, \xi_i]$ , gerando então um poligonal  $\pi$  inscrita em  $C$ . Definamos  $l(\pi) = \sum_{i \geq 1} D_X(\xi_{i-1}, \xi_i)$ .

Se acrescentarmos um novo ponto na partição anterior obtemos daí uma poligonal  $\pi'$  que, pela desigualdade triangular de  $D_X$ , satisfaz  $l(\pi') \geq l(\pi)$ . Definimos então:

**Definição 21.**  $l(C) = \sup_{\pi} \{l(\pi) : \pi \text{ é poligonal inscrita em } C\}$

$R_7$ ) Sejam  $z_1$  e  $z_2$  pontos de  $X$  e  $C$  uma curva de  $X$  que os liga. Então  $l(C) \geq l([z_1, z_2]) = D_X(z_1, z_2)$ .

De fato,  $[z_1, z_2]$  é uma poligonal que liga  $z_1$  a  $z_2$  e assim  $l(C) \geq l([z_1, z_2]) = D_X(z_1, z_2)$  pela aditividade de  $D_X$  em segmentos hiperbólicos.

Seja  $C$  uma curva contínua qualquer de  $X$ .

**Definição 22.**  $l(C) = \sup \{l(C_0) : C_0 \text{ é contínua, } C_0 \subseteq C \text{ e liga dois pontos de } C\}$ .

**Definição 23.**  $l(C)$  é denominado o comprimento de  $C$  em  $X$ .

$R_7$ ) e  $R_8$ ) nos dizem que a curva  $[z_1, z_2]$  é a de menor comprimento em  $X$  ligando  $z_1$  a  $z_2$ .

$R_9$ ) Os horociclos e os hiperbólicos tem comprimento infinito.

Vamos especializar a fórmula para comprimento de curva dada na definição anterior. Para isto vamos assumir que  $C$ ,  $C \subset D$ , seja retificável. Assim, se  $(t_i)$  é uma partição de  $[0, 1]$  seja  $(\xi_i)$  a lista de pontos em  $C$  onde  $\xi_i = \xi(t_i)$ ,  $0 \leq i \leq n$ ,  $\xi : [0, 1] \rightarrow C$ . Temos então:

$$D(\xi_{i-1}, \xi_i) = 2tgh^{-1}D_0(\xi_{i-1}, \xi_i)$$

Pelo teorema do Valor Médio

$$D(\xi_{i-1}, \xi_i) = 2/1 - v_i^2 D_0(\xi_{i-1}, \xi_i) \quad 0 < v_i < D_0(\xi_{i-1}, \xi_i)$$

e aí

$$l(\pi) = \sum_1^n \frac{2}{1 - v_i^2} D_0(\xi_{i-1}, \xi_i) = \sum_1^n \frac{2}{1 - v_n^2} D_0(\xi_{i-1}, \xi_i)$$

onde  $v_n$  é ajustado em função dos  $\xi_i$ 's e  $C$ . Por fim o processo limite usual nos dá

$R_{10})$

$$l(C) = \int_C \frac{2|d\zeta|}{1 - |\zeta|^2}$$

**Definição 24.** Para cada  $z$  em  $\mathbb{D}$   $dl = \frac{2}{1-|z|^2}|dz|$  é denominado o elemento de arco em  $(\mathbb{D}, D)$ . Ainda, o elemento de área aí é  $dl^2 = \frac{4}{(1-|z|^2)^2}dxdy$ , ( $|dz| = \sqrt{dx^2 + dy^2}$  ,  $z = x + iy$ )

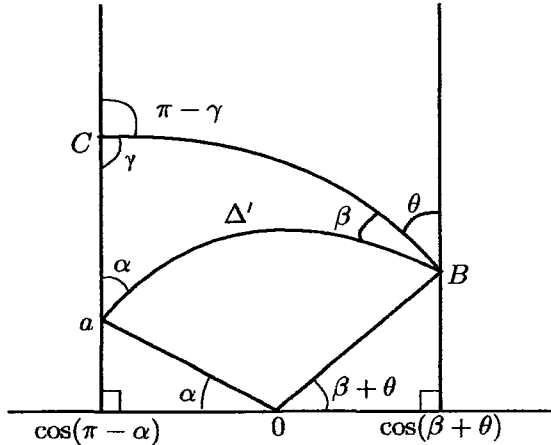
**Definição 25.** A área de uma região em  $\mathbb{D}$  é

$$\int \int_R \frac{dxdy}{(1-|z|^2)^2}$$

se a integral existir.

Exercícios:

- (1) Usando  $d\xi$ ,  $\xi(z) = \frac{z+i}{iz+1}$  ( $\xi = J^{-1}$ ), verifique que o elemento de arco em  $(\mathbb{H}, D')$  no ponto  $w$  é  $\frac{|dw|}{Im(w)}$ . Por conseguinte o elemento de área é  $\frac{dx'dy'}{Im(w)^2}$  ( $w = x'+iy'$ ).
- (2) Uma circunferência de raio  $r$  em  $(\mathbb{D}, D)$  tem comprimento igual a  $2\pi \operatorname{sen} hr$ .
- (3) Seja  $R$  um disco (circular) de raio  $r$  (segundo  $D$ ) em  $\mathbb{D}$  e  $R'$  o disco congruente a  $R$  com centro em  $O$  e com raio euclídeo  $\rho_0$ . Então a área de  $R$  em  $(\mathbb{D}, D)$  é  $4\pi \operatorname{senh}^2 \frac{\pi}{2}$ .
- (4) Usando isometrias de  $\mathbb{H}$  mostre que um triângulo  $\Delta$  de ângulos  $\alpha, \beta$  e  $\gamma$  é transformado em um outro  $\Delta'$  como na figura abaixo.



Conclua que a área de  $\Delta$  é igual à diferença das áreas das faixas, com lados paralelos em comum, subentendidas pelos lados  $AB$  e  $BC$

- (5) Mostre que a área da faixa de lados paralelos e arco  $AB$  é

$$\int_{x=\cos(\pi-\alpha)}^{\cos(\beta+\theta)} \left[ \int_{y=\sqrt{1-x^2}}^{\infty} \frac{dy}{y^2} \right] dx = \int_{x=\cos(\pi-\alpha)}^{\cos(\beta+\theta)} \frac{dx}{\sqrt{1-x^2}} = \int_{\pi-\alpha}^{\beta+\theta} \frac{-\operatorname{sen}(t)}{\operatorname{sen}(t)} dt = \pi - (\alpha + \beta + \theta).$$

- (6) Combinamos (4) e (5) e obtemos que a área de  $\Delta$  é  $\pi - (\alpha + \beta + \theta)$

## REFERÊNCIAS

- [01] Complex Analysis; L. Ahlfors.
- [02] Theory of analytic functions; H. Cartan.
- [03] Theory of functions; C. Caratheodory.

SMA - ICMSC - USP CAIXA POSTAL 668 SÃO CARLOS - SP 13560-970  
*E-mail address:* conde@icmsc.sc.usp.br